



การวิเคราะห์สายอากาศช่องเปิดที่มีภาคตัดขวางรูปสี่เหลี่ยม

ANALYSIS OF CIRCULAR CROSS-SECTION APERIODIC ANTENNAS

นางสาวเนริสา แท่งทอง

รหัส 51364385

ห้องสถาบันและวิศวกรรมศาสตร์
วันที่รับ..... ๕.๔.๘.๖. ๒๕๕๕
เลขทะเบียน..... ๑๖๐๗ ๔๐๓๐
เลขเรียกหนังสือ..... ๙๕.
ภาควิชาฯลัพธ์การ ๔๗๙๓

2554

ปริญนานิพนธ์นี้เป็นส่วนหนึ่งของการศึกษาหลักสูตรปริญญาวิศวกรรมศาสตรบัณฑิต  
สาขาวิชาวิศวกรรมไฟฟ้า ภาควิชาวิศวกรรมไฟฟ้าและคอมพิวเตอร์  
คณะวิศวกรรมศาสตร์ มหาวิทยาลัยนเรศวร  
ปีการศึกษา 2554



## ใบรับรองปริญญานิพนธ์

ชื่อหัวข้อโครงการ การวิเคราะห์สาขอาชีวศึกษาเพื่อเปิดที่มีภาคตัดขวางรูปวงกลม

ผู้ดำเนินโครงการ นางสาวเนริสา แท่งทอง รหัส 51364385

ที่ปรึกษาโครงการ ดร.ชัชรัตน์ พินทอง

สาขาวิชา วิศวกรรมไฟฟ้า

ภาควิชา วิศวกรรมไฟฟ้าและคอมพิวเตอร์

ปีการศึกษา 2554

คณะกรรมการศาสตร์ มหาวิทยาลัยนเรศวร อนุมัติให้ปริญญานิพนธ์ฉบับนี้เป็นส่วนหนึ่ง  
ของการศึกษาตามหลักสูตรวิศวกรรมศาสตรบัณฑิต สาขาวิชาวิศวกรรมไฟฟ้า

...../...../..... ที่ปรึกษาโครงการ

(ดร. ชัชรัตน์ พินทอง)

..... กรรมการ

(ผู้ช่วยศาสตราจารย์ ดร. สุรเชษฐ์ กานต์ประชา)

..... กรรมการ

(ผู้ช่วยศาสตราจารย์ ดร. อัครพันธ์ วงศ์กังແหม)

ชื่อหัวข้อโครงการ	การวิเคราะห์สายอากาศช่องเปิดที่มีภาคตัดขวางรูปวงกลม	
ผู้ดำเนินโครงการ	นางสาวเนริสา แท่งทอง	รหัส 51364385
ที่ปรึกษาโครงการ	ดร.ชัยรัตน์ พินทอง	
สาขาวิชา	วิศวกรรมไฟฟ้า	
ภาควิชา	วิศวกรรมไฟฟ้าและคอมพิวเตอร์	
ปีการศึกษา	2554	

### บทคัดย่อ

ปริญญานิพนธ์ฉบับนี้เป็นการศึกษาและวิเคราะห์เกี่ยวกับคุณลักษณะของสายอากาศช่องเปิดซึ่งจะเน้นการวิเคราะห์สายอากาศช่องเปิดที่มีภาคตัดขวางเป็นรูปวงกลม โดยศึกษาในตัวอย่างของช่องเปิดบนระนาบคินไม่จำกัด ที่มีการกระจายคงรูปและแบบแผนคดีนั้น การวิเคราะห์จะใช้หลักการสมมูลและการประมาณในย่านสنانไมก์ ทำให้ได้สنانที่ครอบคลุมบริเวณด้านหน้าของช่องเปิด ผลลัพธ์ที่ได้แสดงถึง ค่าสภาพเฉพาะจังทิศทาง ระดับพุช้าง และความกว้างลำคลื่นริ่งกำลัง ในกรณีช่องเปิดที่มีแบบแผนคดีนั้น TE<sub>11</sub> สภาพเฉพาะจังทิศทางที่ได้จะมีค่าน้อยกว่ากรณีที่สنانมีการกระจายคงรูปในขนาดช่องเปิดเดียวกัน สำหรับระนาบสنانแม่เหล็กที่มีแบบแผนคดีนั้น TE<sub>11</sub> ค่า SLL และค่า HPBW ที่ได้นั้นจะมีค่ามากกว่ากรณีที่มีการกระจายตัวแบบคงรูป โครงการนี้ได้พัฒนาโปรแกรม MATLAB สำหรับสายอากาศชนิดนี้ซึ่งสามารถลดระยะเวลาในการคำนวณและทำให้การวิเคราะห์สายอากาศช่องเปิดสะดวกมากยิ่งขึ้น

<b>Project title</b>	Analysis of circular cross-section aperture antennas	
<b>Name</b>	Miss. Naerisa Thangthong	ID. 51364385
<b>Project advisor</b>	Dr. Chairat Pinthong	
<b>Major</b>	Electrical Engineering	
<b>Department</b>	Electrical and Computer Engineering	
<b>Academic year</b>	2011	

---

### Abstract

This project is the study and analysis of the characteristics of aperture antennas focusing on the antenna with a circular cross-section. The examples under consideration are apertures on an infinite ground plane with uniform and  $TE_{11}$ -mode distribution. Equivalence principle and far field approximation are applied to find the fields at the front of the aperture. The results show directivity, side lobe level, and half-power beamwidth are shown for both E and H plane. As the dimension of an aperture is larger, the directivity is higher whereas HPBW is reduced. When comparing at the same size of aperture opening, the directivity for  $TE_{11}$ - mode is slightly lower than that of uniform distribution.

## กิตติกรรมประกาศ

ปริญญาอินพันธุ์ฉบับนี้เป็นการศึกษาเกี่ยวกับเรื่องการวิเคราะห์สาขอาช่าซ่องเปิดที่มีภาคตัดขวางรูปปั้งกลมซึ่งจะไม่มีทางสำเร็จไปได้ถ้าไม่ได้รับการช่วยเหลือจากบุคคลดังต่อไปนี้

ขอขอบพระคุณ ดร.ชัยรัตน์ พินทอง อาจารย์ภาควิชาศิลปกรรม ไฟฟ้าและคอมพิวเตอร์ มหาวิทยาลัยนเรศวร ผู้เป็นอาจารย์ที่ปรึกษาโครงงานที่ได้ให้ความรู้ ให้คำแนะนำและให้ความช่วยเหลือแก่ผู้จัดทำเป็นอย่างดีตลอดมา

ขอขอบพระคุณ ผู้ช่วยศาสตราจารย์ ดร.สุรเชษฐ์ กานต์ประชา และ ดร.อัครพันธ์ วงศ์กังแห อาจารย์ภาควิชาศิลปกรรม ไฟฟ้าและคอมพิวเตอร์ มหาวิทยาลัยนเรศวร ผู้เป็นกรรมการคุณสอบ โครงงานซึ่งเสียเวลาในการคุณสอบโครงงานและให้คำแนะนำเป็นอย่างดี

ขอขอบพระคุณคณาจารย์ทุกท่านที่ประสิทธิ์ประสาทวิชาความรู้ให้กับผู้จัดทำนักงานนี้ยัง ต้องขอบขอบคุณภาควิชาศิลปกรรม ไฟฟ้าและคอมพิวเตอร์ สำนักหอสมุด ห้องสมุดคณะ วิศวกรรมศาสตร์ และศูนย์บริการเทคโนโลยีสารสนเทศและการสื่อสาร (CITCOM) มหาวิทยาลัย นเรศวร ที่ได้ให้ความอนุเคราะห์ในการสืบค้นเนื้อหาและข้อมูลต่างๆรวมถึงการสืบค้นข้อมูลทาง อินเทอร์เน็ตประกอบการทำโครงงาน

เห็นอีลิ่งอื่นใด ผู้จัดทำขอกราบขอบพระคุณบินามารดา ผู้สอนความรักความเมตตา สติปัญญา รวมทั้งเป็นผู้ให้ทุกสิ่งทุกอย่างตั้งแต่วัยเยาว์จนถึงปัจจุบัน อยู่เป็นกำลังใจให้ได้รับความสำเร็จอย่างทุกวันนี้ และขอขอบคุณทุกๆ คนในครอบครัว ของผู้จัดทำที่ไม่ได้กล่าวไว้ ณ ที่นี้ด้วย

ท้ายนี้ผู้จัดทำขอกราบขอบพระคุณผู้ที่มีส่วนเกี่ยวข้องทุกท่านที่ไม่ได้กล่าวนามมา ณ ที่นี้ ที่มีส่วนร่วมในการให้ข้อมูลเป็นที่ปรึกษาในการทำปริญญาอินพันธุ์ฉบับนี้เจนเรืองสมบูรณ์ ผู้จัดทำ จึงขอขอบพระคุณไว้ ณ ที่นี้

นางสาวเนริสา แท่งทอง

# สารบัญ

หน้า

ใบรับรองปริญานิพนธ์.....	ก
บทคัดย่อภาษาไทย.....	ข
บทคัดย่อภาษาอังกฤษ.....	ค
กิตติกรรมประกาศ.....	ง
สารบัญ.....	จ
สารบัญตาราง.....	ฉ
สารบัญรูป.....	ช

บทที่ 1 บทนำ.....	1
1.1 ที่มาและความสำคัญของโครงการ.....	1
1.2 วัตถุประสงค์ของโครงการ .....	1
1.3 ขอบเขตของโครงการ .....	1
1.4 ขั้นตอนและแผนการดำเนินงาน .....	2
1.5 ประโยชน์ที่คาดว่าจะได้รับจากโครงการ.....	2
1.6 งบประมาณ .....	2

บทที่ 2 ทฤษฎีและหลักการที่เกี่ยวข้อง .....	3
2.1 โครงสร้างของสายอากาศ .....	4
2.2 ขั้นตอนในการวิเคราะห์ .....	5
2.3 หลักการสมมูล(Equivalence Principle) .....	7
2.4 สมการการแผ่พลังงาน(Radiation Equation) .....	8
2.5 การกระจายคงรูปบนระนาบคืนไม่จำกัด .....	17
2.5.1 สนามที่แผ่ออกไป .....	18
2.5.2 สภาพเฉพาะของทิศทาง.....	20
2.6 การกระจายในแบบแผนคลื่น $TE_{11}$ บนระนาบคืนไม่จำกัด.....	22

## สารบัญ(ต่อ)

หน้า	
บทที่ 3 ผลการวิเคราะห์สายอาชีวช่องเปิด .....	25
3.1 สายอาชีวช่องเปิดที่กระจายคงรูปวางแผนบนระนาบดินไม่จำกัด .....	25
3.2 สายอาชีวช่องเปิดที่มีการกระจายในแบบแผนคลื่น $TE_{11}$ .....	30
3.3 ความกว้างลำคลื่นครึ่งกำลัง ระดับพูข้าง .....	33
บทที่ 4 สรุปผลและข้อเสนอแนะ .....	38
4.1 สรุปผลการวิเคราะห์ .....	38
4.2 ข้อเสนอแนะ .....	38
เอกสารอ้างอิง .....	39
ภาคผนวก ก หลักการสำนวนสมมูล .....	40
ภาคผนวก ข ศักย์เชิงเวกเตอร์ .....	44
ภาคผนวก ค พังก์ชันเบสเซล .....	50
ภาคผนวก ง การอินทิเกรตเชิงตัวเลข โดยใช้กฎสี่เหลี่ยมคงที่ .....	58
ภาคผนวก จ พารามิเตอร์ของสายอาชีวช่องเปิด .....	60
ภาคผนวก ฉ โปรแกรมวิเคราะห์สายอาชีวช่องเปิดที่มีภาคตัดขวางรูปวงกลม .....	64
ประวัติผู้ดำเนินโครงการ .....	72

## สารบัญตาราง

ตารางที่	หน้า
3.1 สภาพเจาะจงทิศทาง SLL และ HPBW ของช่องเปิดบนระนาบคินไม่จำกัด สำหรับกรณี ระนาบสนามไฟฟ้า.....	34
3.2 สภาพเจาะจงทิศทาง SLL และ HPBW ของช่องเปิดบนระนาบคินไม่จำกัด สำหรับกรณี ระนาบสนามแม่เหล็ก.....	34
3.3 สภาพเจาะจงทิศทาง SLL และ HPBW ของช่องเปิดบนแบบแผนกลืน TE <sub>11</sub> กรณีระนาบสนามไฟฟ้า.....	35
3.4 สภาพเจาะจงทิศทาง SLL และ HPBW ของช่องเปิดบนแบบแผนกลืน TE <sub>11</sub> กรณีระนาบสนามแม่เหล็ก.....	35

## สารบัญรูป

รูปที่	หน้า
2.1 สาขอาช่าซ่องเปิดที่มีหน้าตั้งกลม .....	3
2.2 ซ่องเปิดรูปวงกลมนรณะนินไม่จำกัด.....	4
2.3 สาขอาช่าซ่องเปิดรูปวงกลมวางแนมแนก Z .....	7
2.4 แบบรูปสมมุติสำหรับสาขอาช่าซ่องเปิดที่ติดตั้งบนรณะนินไม่จำกัด.....	8
2.5 ระบบพิกัดสำหรับการวิเคราะห์สาขอาช่าซ่องเปิด .....	10
2.6 ซ่องเปิดรูปวงกลม และตำแหน่งบนแผ่นแผ่นพลังงาน .....	12
2.7 ซ่องเปิดรูปวงกลมที่มีการกระจายตัวแบบคงรูปบนรณะนินไม่จำกัด.....	17
2.8 ซ่องเปิดรูปวงกลมที่มีการกระจายตัวในแบบแนนคลื่น TE <sub>11</sub> บนรณะนินไม่จำกัด .....	22
3.1 สาขอาช่าซ่องเปิดที่มีการกระจายคงรูป.....	25
3.2 แบบรูปสภาพเจาะจงทิศทางของซ่องเปิดที่มีการกระจายตัวคงรูปวงนน รณะนินไม่จำกัด เมื่อรักมี $a = 1.5\lambda$ .....	26
3.3 การรับสัญญาณของสาขอาชานจากสมมุติในย่านสนามไฟฟ้า .....	27
3.4 แบบรูปสภาพเจาะจงของซ่องเปิดที่มีการกระจายตัวคงรูปบนรณะนินบน รณะนวนไฟฟ้าโดยแบรเปลี่ยนค่า $a = 1.5\lambda, 2\lambda, 2.5\lambda$ .....	28
3.5 แบบรูปสภาพเจาะจงของซ่องเปิดที่มีการกระจายตัวคงรูปบนรณะนินแม่เหล็กโดย แบรเปลี่ยนค่า $a = 1.5\lambda, 2\lambda, 2.5\lambda$ .....	29
3.6 แบบรูปสภาพเจาะจงทิศทางของซ่องเปิด TE <sub>11</sub> บนรณะนินไม่จำกัดเมื่อ $a = 1.5\lambda$ .....	30
3.7 แบบรูปสภาพเจาะจงทิศทางของซ่องเปิด บนรณะนินรณะนวนไฟฟ้า $a = 1.5\lambda$ .....	31
3.8 สภาพเจาะจงทิศทางของสาขอาช่าซ่องเปิด บนรณะนินแม่เหล็ก เมื่อ $a = 1.5\lambda$ .....	32
3.9 สภาพเจาะจงทิศทางของสาขอาช่าซ่องเปิดที่ $a = 1\lambda, 1.5\lambda, 2\lambda, 2.5\lambda, 3\lambda$ .....	36
3.10 ความกว้างลำคลื่นครึ่งกำลังของสาขอาช่าที่ $a = 1\lambda, 1.5\lambda, 2\lambda, 2.5\lambda, 3\lambda$ .....	37

## บทที่ 1

### บทนำ

#### 1.1 ที่มาและความสำคัญของโครงการ

สาขางานช่องเปิดเป็นสาขางานที่ได้รับความนิยมในยุคความถี่สูง โดยเฉพาะในยุคความถี่ในโทรศัพท์ในการใช้งานเห็นจะใช้เป็นตัวป้อนของสาขางานท่อน หรือใช้ในภาคขนาดน้ำหนักเล็ก และสามารถติดกันพื้นผิวของตัวยานได้อย่างเหมาะสม สาขางานประเภทนี้สามารถมีรูปทรงได้หลากหลายลักษณะ เช่น สีเหลืองจัตุรัส สีเหลืองผึ้งผ้า วงกลม หรือวงรี รวมถึงสามารถขยายโครงสร้างเป็นสาขางานปากแตรได้

โครงการฉบับนี้จะเป็นการศึกษาเกี่ยวกับ คุณลักษณะของสาขางานช่องเปิด โดยใช้หลักการสอนสมมูล รวมถึงทฤษฎีแบบแผนคลื่นในท่อน้ำดื่มน้ำ โดยมุ่งเน้นไปที่กลุ่มสาขางานช่องเปิดรูปวงกลม ซึ่งสามารถประยุกต์กับการใช้งานจริงได้

#### 1.2 วัตถุประสงค์ของโครงการ

- 1) เพื่อศึกษาหลักการวิเคราะห์สาขางานทั่วไป
- 2) เพื่อศึกษาหลักการสอนสมมูล (Field Equivalence Principle)
- 3) เพื่อศึกษาคุณลักษณะของสาขางานช่องเปิดที่มีภาคตัดขวางรูปวงกลม

#### 1.3 ขอบเขตของโครงการ

- 1) ศึกษาและวิเคราะห์คุณลักษณะของสาขางานช่องเปิดที่มีภาคตัดขวางรูปวงกลม
- 2) ศึกษาหลักการสอนสมมูล
- 3) ศึกษาและพัฒนาโปรแกรม MATLAB ที่ใช้ในการวิเคราะห์สาขางานช่องเปิดที่มีภาคตัดขวางรูปวงกลม

#### 1.4 ขั้นตอนและแผนการดำเนินงาน

รายละเอียด	ปี 2554				ปี 2555			
	ม.บ.-ก.บ.	ต.ค.-ธ.ค.	ม.ค-ก.ค.					
1) ศึกษาหลักการพื้นฐานและวิเคราะห์คุณลักษณะของสายอาชีวะซึ่งเปิด และ หลักการสนับสนุน								
2) ศึกษาและพัฒนาโปรแกรม MATLAB ที่ใช้ในการวิเคราะห์สายอาชีวะซึ่งเปิด								
3) รวบรวมข้อมูลที่ได้จากการวิเคราะห์สายอาชีวะซึ่งเปิด								
4) สรุปคุณสมบัติและคุณลักษณะของสายอาชีวะซึ่งเปิดและจัดทำเอกสารโครงการ								

#### 1.5 ประโยชน์ที่คาดว่าจะได้รับจากโครงการ

- 1) สามารถนำความรู้ทางคณิตศาสตร์ มาประยุกต์ใช้กับการวิเคราะห์สายอาชีวะได้
- 2) ทราบคุณลักษณะของสายอาชีวะซึ่งเปิดที่มีภาคตัดขวางรูปวงกลม
- 3) ได้รับความรู้ในการเขียนโปรแกรม MATLAB สำหรับวิเคราะห์ สายอาชีวะซึ่งเปิด

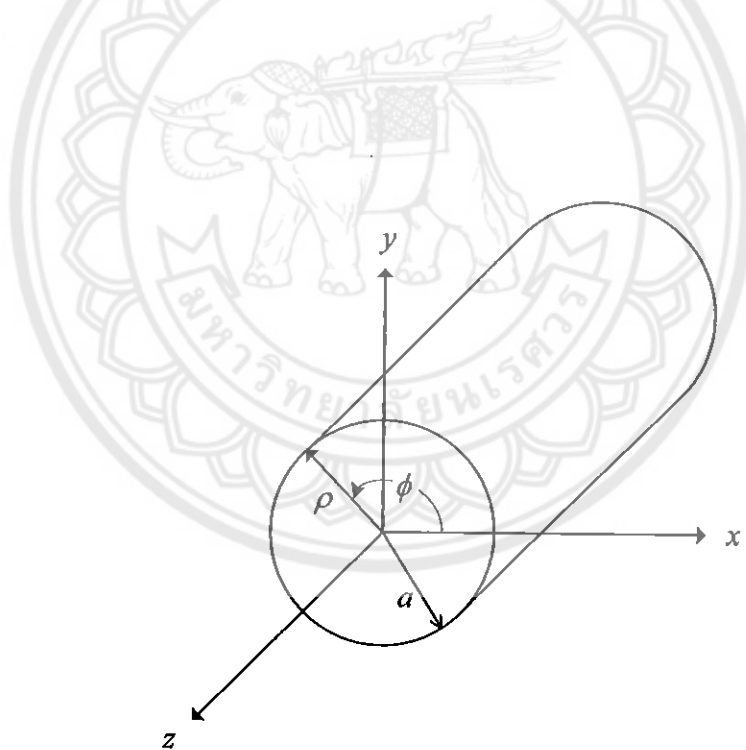
#### 1.6 งบประมาณ

ค่าจัดทำเอกสารและเข้ารูปเด่นโครงการ	700 บาท
ค่าวัสดุ อุปกรณ์สำนักงาน	200 บาท
อื่นๆ	100 บาท
รวมเป็นเงินทั้งสิ้น (หนึ่งพันบาทถ้วน)	<u>1,000 บาท</u>
หมายเหตุ: ถ้าเกิดมีภาระการ	

## บทที่ 2

### ทฤษฎีเกี่ยวข้อง

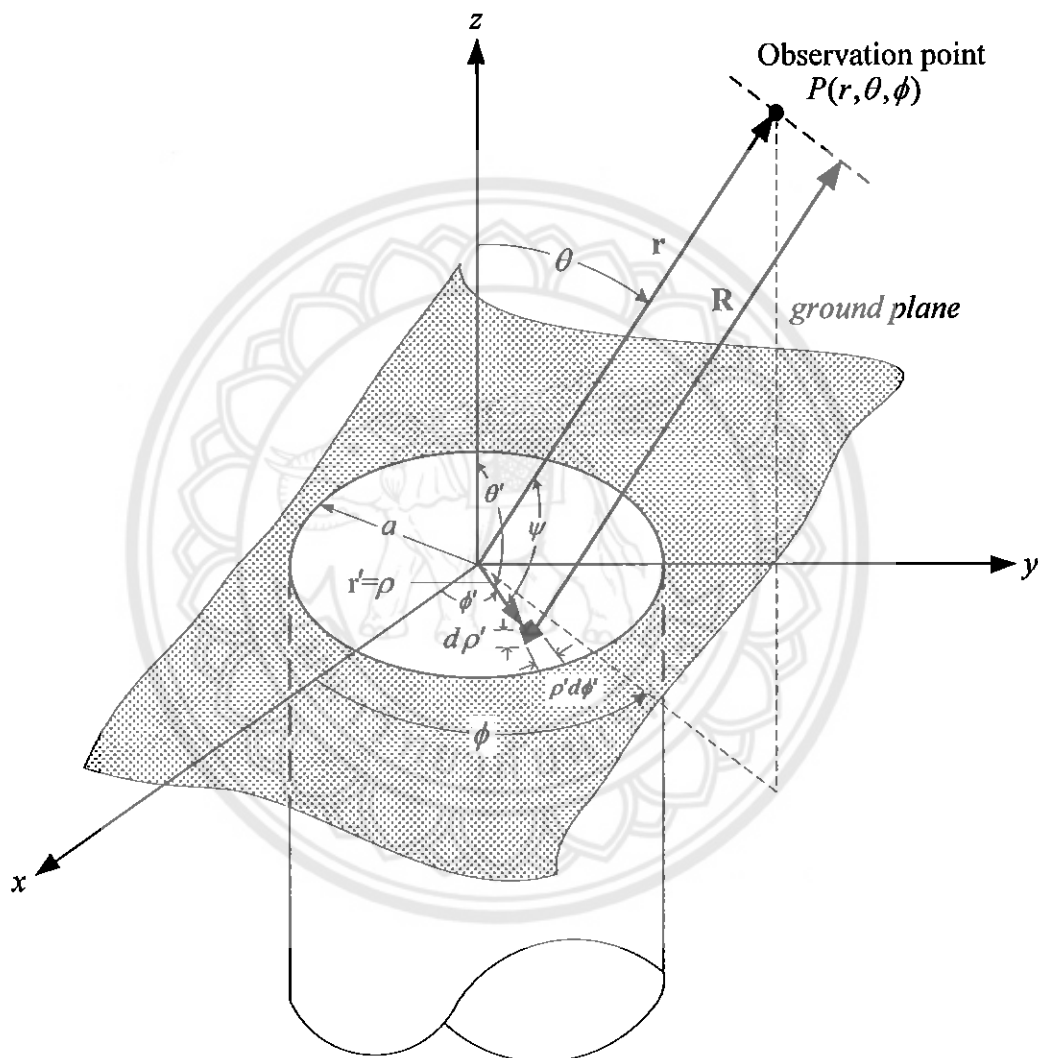
สายอากาศช่องเปิดเป็นสายอากาศที่ติดตั้งได้รับความนิยมใช้งานในย่านความถี่สูง โดยเฉพาะอย่างยิ่งย่านความถี่ในโครเรฟ ตัวอย่างการใช้งานในสายอากาศกุญแจนี้ได้แก่ ใช้เป็นตัวป้อนของสายอากาศสะท้อน หรือ ใช้ในอากาศยาน เพราะมีขนาดเล็ก และสามารถติดกับพื้นผิวของตัวยานได้อย่างกลมกลืน สายอากาศประเภทนี้สามารถมีรูปทรงได้หลายลักษณะ เช่น สี่เหลี่ยมจัตุรัส สี่เหลี่ยมผืนผ้า วงกลม หรือวงรี รวมถึงสามารถขยายโครงสร้างเป็นสายอากาศปากแตร ได้สายอากาศที่จะวิเคราะห์ในที่นี้คือ สายอากาศช่องเปิดที่มีภาคตัดขวางเป็นรูปวงกลมที่แสดงในรูปที่ 2.1 แสดงสายอากาศช่องเปิดที่มีภาคตัดขวางเป็นรูปวงกลม ตามโครงสร้างนี้ปลายทางหนึ่งจะต่อเข้ากับตัวกำเนิดสัญญาณ ส่วนปลายอีกทางหนึ่งจะทำหน้าเป็นสายอากาศ



รูปที่ 2.1 สายอากาศช่องเปิดที่มีหน้าตัดวงกลม

## 2.1 โครงสร้างของสายอากาศ

โครงสร้างของสายอากาศที่นำมาพิจารณาคือ ช่องเปิดรูปวงกลมติดตั้งบนระนาบคินไม่จำกัด ที่มีรัศมีเท่ากับ  $a$  ระนาบซึ่งเปิดจะหดตัวไปบนระนาบ  $x-y$  โดยที่ จุดสังเกต  $P(r, \theta, \phi)$  จะอยู่ในย่านสนามใกล้  $r$  คือเวกเตอร์จากแหล่งกำเนิดไปยังจุดสังเกต และ  $R$  คือเวกเตอร์สำหรับการประเมณค่าบริรุณสีบนน้ำ ดังแสดงในรูปที่ 2.2



รูปที่ 2.2 ช่องเปิดรูปวงกลมบนระนาบคินไม่จำกัด

## 2.2 ขั้นตอนในการวิเคราะห์

การวิเคราะห์หาสถานะไฟฟ้าและสนามแม่เหล็กในย่านสนามไกล สำหรับปัญหาสายอากาศช่องเปิดภาคตัดขวางรูปวงกลม สามารถสรุปเป็นขั้นตอนได้ดังนี้ 1. เลือกพื้นผิวปิดที่ซึ่งมีการประกูลของความหนาแน่นกระแส  $J_s$  หรือความหนาแน่นกระแสสมญูต  $J_s$  และ  $M_s$  ซึ่งความหนาแน่นกระแส  $J_s$  เป็นความหนาแน่นกระแสไฟฟ้าเชิงพื้นผิว (surface current density) ที่มีอยู่ (exist) ตามธรรมชาติ สำหรับความหนาแน่นกระแสสมญูต  $J_s$  และ  $M_s$  จะเป็นกระแสที่ไม่ได้มีอยู่ตามธรรมชาติ แต่เป็นกระแสสร้างขึ้นจากทฤษฎีนักลิ่นแม่เหล็กไฟฟ้า กระแสสมญูตเป็นกระแสในทางทฤษฎีซึ่งสร้างขึ้นเพื่อใช้ในการวิเคราะห์ และการคำนวณเท่านั้น

2. กำหนดความหนาแน่นกระแส  $J_s$  หรือกระแสสมญูต  $J_s$  และ  $M_s$  บนพื้นผิว  $S$  โดยอาศัยหลักการสมญูตของเดิฟ ดังที่แสดงในภาคผนวก (ก) ทำให้ได้สมการต่อไปนี้

$$\mathbf{J}_s = \hat{\mathbf{n}} \times \mathbf{H}_i \quad (2.1\text{a})$$

$$\mathbf{M}_s = -\hat{\mathbf{n}} \times \mathbf{E}_i \quad (2.1\text{b})$$

โดยที่  $\hat{\mathbf{n}}$  คือ เวกเตอร์หนึ่งหนวยที่พุ่งเข้าพื้นผิว  $S$

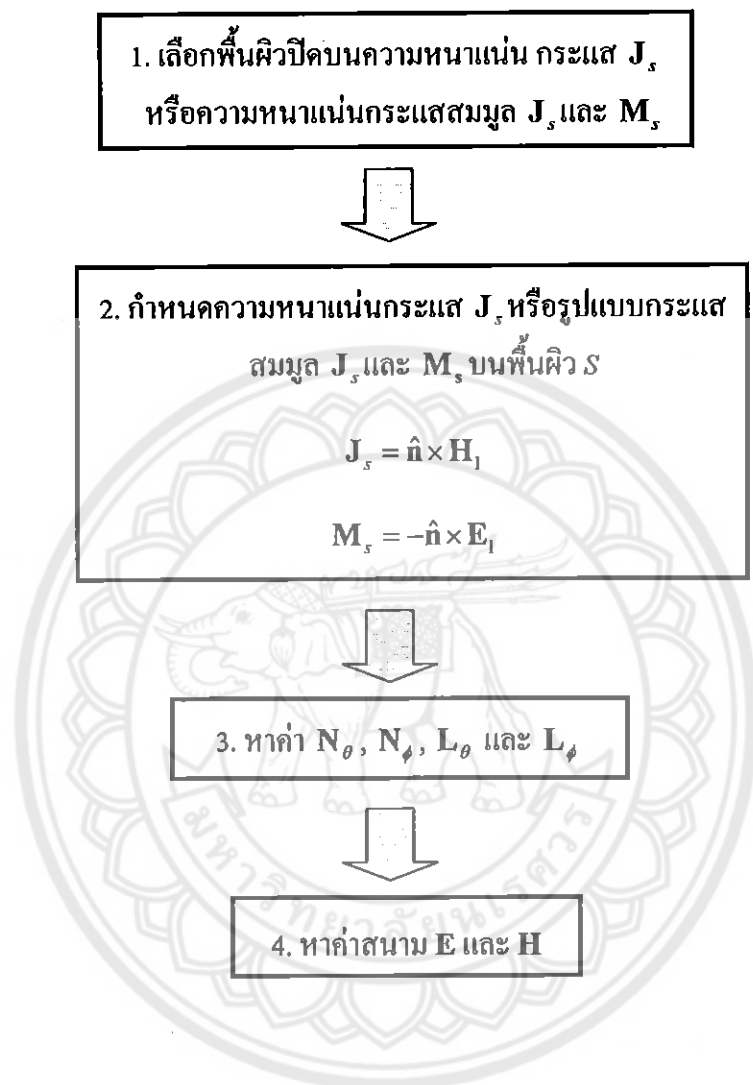
$\mathbf{E}_i$  คือ สนามไฟฟ้านบนพื้นผิว  $S$

$\mathbf{H}_i$  คือ สนามแม่เหล็กบนพื้นผิว  $S$

3. หาค่า  $N_\theta, N_\phi, L_\theta$  และ  $L_\phi$  โดยใช้สมการ (2.11ก) ถึง (2.11ج)

4. หาค่าสนาม  $\mathbf{E}$  และ  $\mathbf{H}$  ในย่านสนามไกล ณ ตำแหน่ง  $P(r, \theta, \phi)$  โดยใช้สมการ (2.22ก) ถึง (2.22ج)

โดยขั้นตอน 1-4 สามารถเขียนเป็นแผนภูมิ ได้ดังนี้



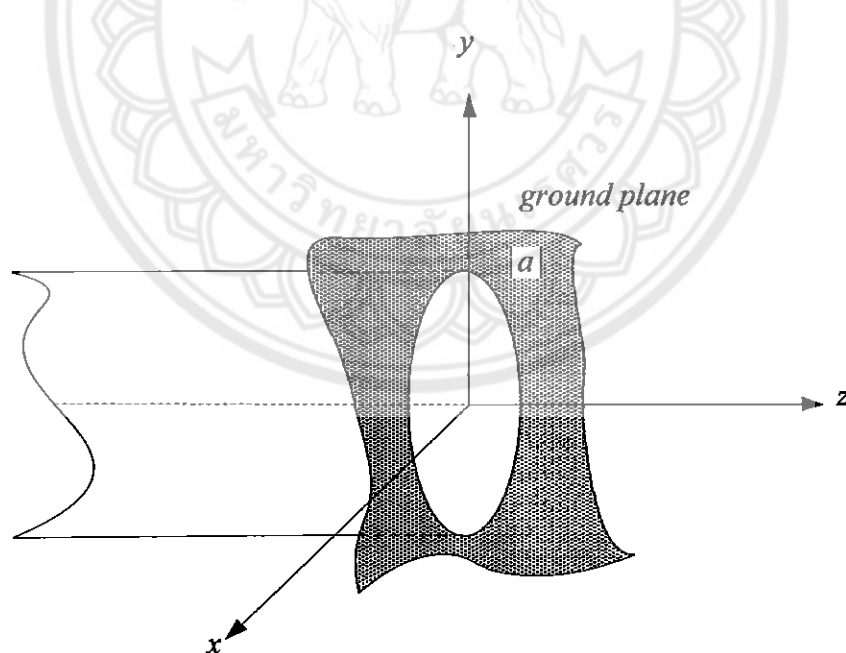
### 2.3 หลักการสมมูล (Equivalence Principle)

แหล่งกำเนิดพลังงานของสายอากาศซึ่งได้แก่ กระแสไฟฟ้าและกระแสแม่เหล็ก จะได้รับการสร้างขึ้น โดยอาศัยหลักการสมมูลดังแสดงรายละเอียดในภาพผนวก (ข) รูป 2.3 และสายอากาศซึ่งเป็นที่มีภาคตัดขวางรูปวงกลมทอดตัวไปตามแนวแกน  $z$  ระนาบซึ่งเป็นเส้นยูบันระนาบคิน วางตัวบนระนาบ  $x-y$  และภาพตัดขวางตามแนวแกนท่อนกำลัง (axial component) แสดงได้ดังรูป 2.4 (ก)

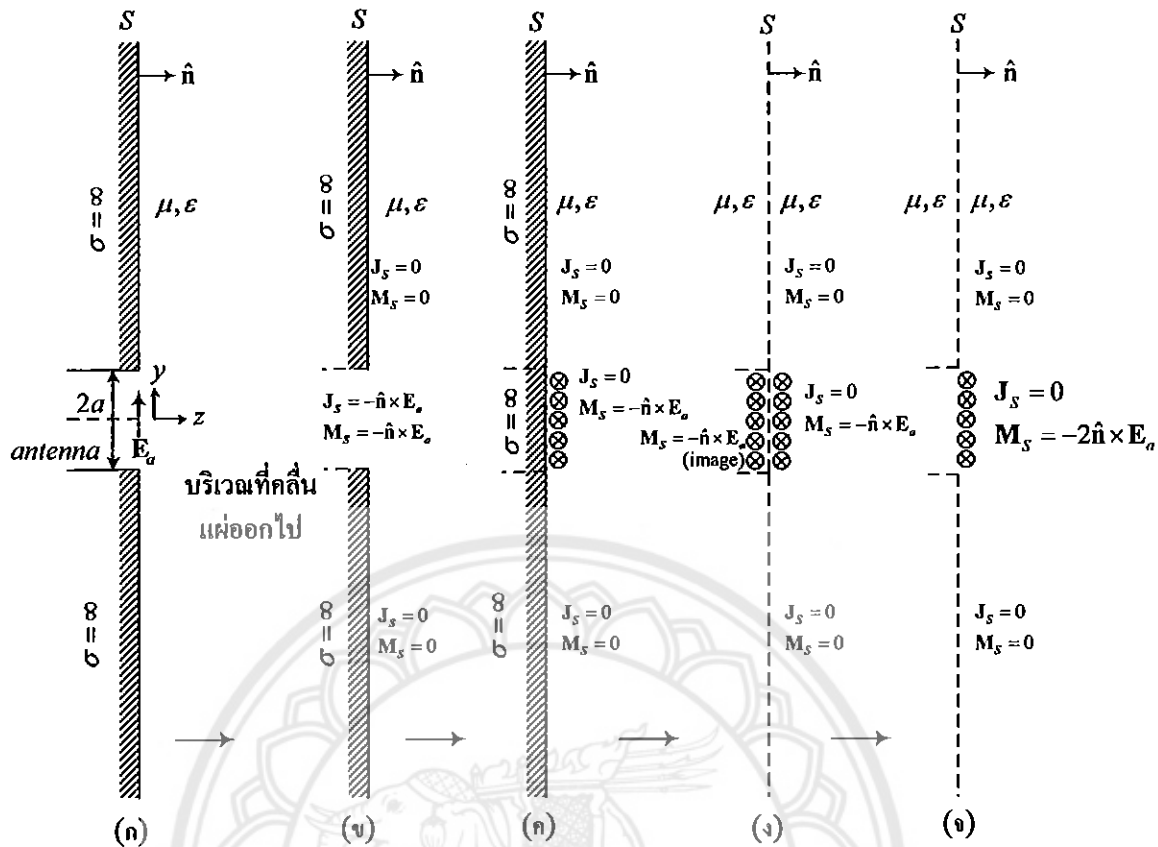
โดยอาศัยหลักการสมมูลเพื่อศึกษา ให้รับการเลือกให้วางตัวบนระนาบ  $x-y$  ที่สอดคล้องกับระนาบของซองเป็นพื้นผิวปิดจะขยายตัวตั้งแต่  $-\infty$  จนถึง  $\infty$  ทำให้ได้ ความหนาแน่นกระแสแม่เหล็กเป็น

$$\mathbf{M}_s = \begin{cases} -2\hat{n} \times \mathbf{E}_a = \hat{a}_x 2E_0 & \rho' \leq a \\ 0 & \text{elsewhere} \end{cases} \quad (2.2)$$

$$\mathbf{J}_s = 0 \quad \text{everywhere}$$



รูปที่ 2.3 สายอากาศซึ่งเป็นรูปวงกลมวางแกนตามแนวแกน  $z$



รูปที่ 2.4 แบบบูรณาการสำหรับสาขารากช่องเปิดที่ติดตั้งบนระนาบคันไม้จำกัด

## 2.4 สมการการแผ่พลังงาน (Radiation Equation)

วิธีหนึ่งในการวิเคราะห์คือสถานะไฟฟ้า ( $E$ ) และสนามแม่เหล็ก ( $H$ ) จะไม่ได้รับการหาคำตอบโดยตรงจากแหล่งกำเนิด แต่จะหาจากศักย์เชิงเวกเตอร์คู่หนึ่งคือ  $A$  และ  $F$  ก่อน โดยอาศัยการอินทิเกรต จากนั้นจึงนำมาหา  $E$  และ  $H$  เป็นลำดับต่อไป ศักย์เชิงเวกเตอร์  $A$  และ  $F$  สามารถหาได้จากสมการทั่วไปดังต่อไปนี้

$$\mathbf{A} = \frac{\mu}{4\pi} \iint_S \mathbf{J}_s(r') \frac{e^{-jkR}}{R} ds' \quad (2.3)$$

$$\mathbf{F} = \frac{\epsilon}{4\pi} \iint_S \mathbf{M}_s(r') \frac{e^{-jkR}}{R} ds' \quad (2.4)$$

โดยที่  $\mathbf{J}_s$  และ  $\mathbf{M}_s$  คือ ความหนาแน่นกระแสไฟฟ้าและการแสแม่เหล็กซึ่งสามารถหาได้จากหลักการสมมูล

$ds'$  คือ พื้นที่ปริมาณน้อยๆ บนสายอากาศ

$R$  คือ เวกเตอร์ที่มีทิศทางและกำเนิดไปยังจุดสังเกต

$r'$  คือ เวกเตอร์ตำแหน่งของแหล่งกำเนิดพลังงานดังแสดงในรูปที่ 2.5 ซึ่งความสัมพันธ์ระหว่างขนาดของ  $R$  และ  $r'$  จากรูปที่ 2.5(ก) สามารถเขียนได้

$$R = \left[ r^2 + (r')^2 - 2r\hat{a}_r \cdot r' \right]^{1/2} \quad (2.5)$$

สำหรับกรณีที่จุดสังเกตอยู่ในย่านสนานใกล้ ซึ่งบริเวณนี้เป็นบริเวณที่นิยมสำหรับการวิเคราะห์ปัญหาสายอากาศ และเป็นบริเวณที่ได้รับการสนใจค่าของ  $R$  จะได้รับการประมาณดังนี้

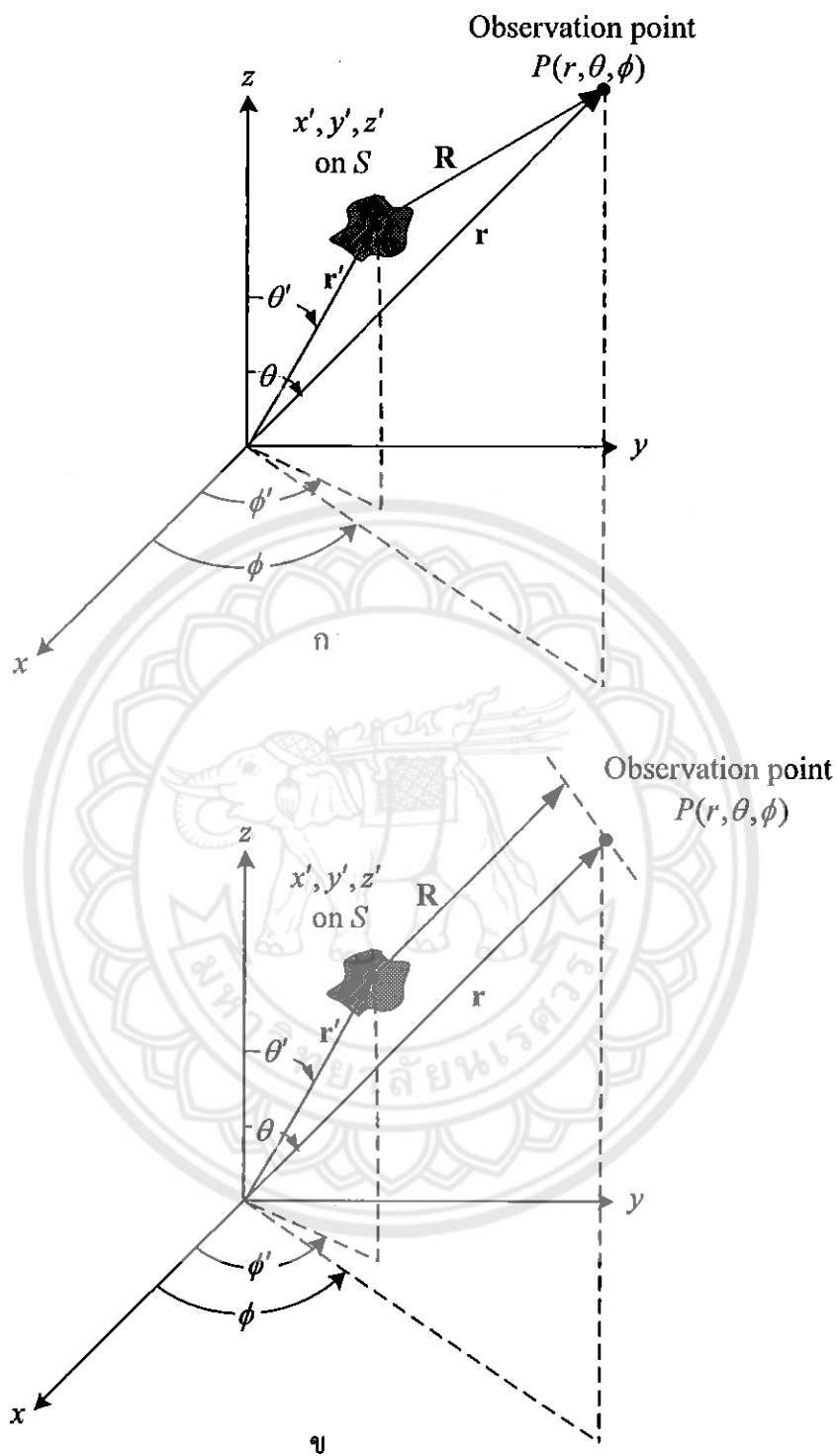
$$R = r - \hat{a}_r \cdot r' \quad \text{for phase terms} \quad (2.6\text{ก})$$

$$R = r \quad \text{for amplitude terms} \quad (2.6\text{ข})$$

ในการประมาณค่า  $R$  สำหรับพจน์เฟสตามสมการ (2.6ก) จะส่งผลให้  $R$  ขนาดกับเวกเตอร์  $r$  ดังรูปที่ 2.5(ข) การประมาณพจน์เฟสตามสมการ (2.6ก) นี้จึงมีชื่อเรียกว่า การประมาณด้วยรังสีขนาน (parallel ray approximation) เพื่อที่จะให้ความผิดพลาดไม่เกิน 22.5 องศา ระยะการสังเกต  $r$  ต้องมีค่าเท่ากับ

$$r \geq \frac{2D^2}{\lambda} \quad (2.7)$$

โดยที่  $D$  คือมิติที่ใหญ่ที่สุดของสายอากาศ



รูปที่ 2.5 ระบบพิกัดสำหรับการวิเคราะห์สายอากาศช่องเปิด (ก) เวกเตอร์  $R$  และ  $r$  ในปีญหา  
จริง (ข) เวกเตอร์  $R$  และ  $r$  สำหรับการประมาณย่านสนามไกล

การประมาณในข้างบนสามารถไกลตามสมการ (2.7) ศักย์เชิงเวกเตอร์ A และ F สามารถเขียนได้เป็น

$$\mathbf{A} = \frac{\mu}{4\pi} \iint_S \mathbf{J}_s \frac{e^{-j\beta R}}{R} ds' \cong \frac{\mu e^{-j\beta r}}{4\pi r} \mathbf{N} \quad (2.8\text{ก})$$

$$\mathbf{F} = \frac{\epsilon}{4\pi} \iint_S \mathbf{M}_s \frac{e^{-j\beta R}}{R} ds' \cong \frac{\epsilon e^{-j\beta r}}{4\pi r} \mathbf{L} \quad (2.8\text{ง})$$

สามารถหาเวกเตอร์ N และ L สามารถหาได้จากความหนาแน่นกระแสเชิงพื้นผิว  $\mathbf{J}_s$  และ  $\mathbf{M}_s$  ดังสมการที่ (2.8ก) และ (2.8ง) ตามลำดับดังนี้

$$\mathbf{N} = \iint_S \mathbf{J}_s e^{j\beta \hat{\mathbf{a}}_r \cdot \mathbf{r}'} ds' \quad (2.8\text{ก})$$

$$\mathbf{L} = \iint_S \mathbf{M}_s e^{j\beta \hat{\mathbf{a}}_r \cdot \mathbf{r}'} ds' \quad (2.8\text{ง})$$

ถ้าแหล่งกำเนิดได้รับการบ่งในระบบพิกัดฉาก N และ L สามารถเขียนได้ดังนี้

$$\begin{aligned} \mathbf{N} &= \iint_S \mathbf{J}_s e^{+j\beta \hat{\mathbf{a}}_r \cdot \mathbf{r}'} ds' \\ &= \iint_S (\hat{\mathbf{a}}_x J_x + \hat{\mathbf{a}}_y J_y + \hat{\mathbf{a}}_z J_z) e^{+j\beta \hat{\mathbf{a}}_r \cdot \mathbf{r}'} ds' \end{aligned} \quad (2.9\text{ก})$$

$$\begin{aligned} \mathbf{L} &= \iint_S \mathbf{M}_s e^{+j\beta \hat{\mathbf{a}}_r \cdot \mathbf{r}'} ds' \\ &= \iint_S (\hat{\mathbf{a}}_x M_x + \hat{\mathbf{a}}_y M_y + \hat{\mathbf{a}}_z M_z) e^{+j\beta \hat{\mathbf{a}}_r \cdot \mathbf{r}'} ds' \end{aligned} \quad (2.9\text{ง})$$

องค์ประกอบของกระแสสำหรับปัญหานี้เพื่อให้สอดคล้องกับโครงสร้าง จะได้รับการเขียนให้อยู่ในระบบพิกัดทรงกรวยบวก ดังนั้นจึงจำเป็นต้องแปลงกระแสจากในระบบพิกัดทรงกรวยบวกไปเป็นระบบพิกัดฉากเสียก่อน โดยอาศัยความสัมพันธ์ต่อไปนี้

$$\begin{bmatrix} J_x \\ J_y \\ J_z \end{bmatrix} = \begin{bmatrix} \cos \phi' & -\sin \phi' & 0 \\ \sin \phi' & \cos \phi' & 0 \\ 0 & 0 & 1 \end{bmatrix} \begin{bmatrix} J_\rho \\ J_\phi \\ J_z \end{bmatrix} \quad (2.10\text{ก})$$

เนื่องจากการแพร่พลังงานในย่านสنانไมโครจะให้หน้าคลื่นที่มีลักษณะเป็นทรงกลม จึงจำเป็นต้องเปลี่ยนระบบพิกัดสำหรับการวิเคราะห์หา  $N$  และ  $L$  จากระบบพิกัดจากแต่เดิมไปเป็นระบบพิกัดทรงกลมโดยอาศัยสมการต่อไปนี้

$$\begin{bmatrix} A_r \\ A_\theta \\ A_\phi \end{bmatrix} = \begin{bmatrix} \sin\theta \cos\phi & \sin\theta \sin\phi & \cos\theta \\ \cos\theta \cos\phi & \cos\theta \sin\phi & -\sin\theta \\ -\sin\phi & \cos\phi & 0 \end{bmatrix} \begin{bmatrix} A_x \\ A_y \\ A_z \end{bmatrix} \quad (2.10\text{v})$$

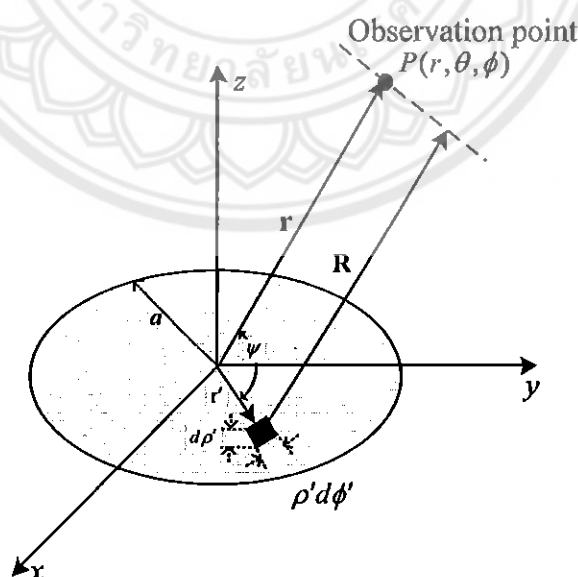
ทำให้ได้  $N$  และ  $L$  ในระบบพิกัดทรงกลม ในรูปของตัวแปร  $\theta$  และ  $\phi$  ตามที่แสดงในภาพผนวก (v) ด้านล่าง

$$N_\theta = \iint_S [J_\rho \cos\theta \cos(\phi - \phi') + J_\phi \cos\theta \sin(\phi - \phi') - J_z \sin\theta] e^{+j\beta \hat{\mathbf{a}}_r \cdot \mathbf{r}'} ds' \quad (2.11\text{v})$$

$$N_\phi = \iint_S [-J_\rho \sin(\phi - \phi') + J_\phi \cos(\phi - \phi')] e^{+j\beta \hat{\mathbf{a}}_r \cdot \mathbf{r}'} ds' \quad (2.11\text{v})$$

$$L_\theta = \iint_S [M_\rho \cos\theta \cos(\phi - \phi') + M_\phi \cos\theta \sin(\phi - \phi') - M_z \sin\theta] e^{+j\beta \hat{\mathbf{a}}_r \cdot \mathbf{r}'} ds' \quad (2.11\text{v})$$

$$L_\phi = \iint_S [-M_\rho \sin(\phi - \phi') + M_\phi \cos(\phi - \phi')] e^{+j\beta \hat{\mathbf{a}}_r \cdot \mathbf{r}'} ds' \quad (2.11\text{v})$$



รูปที่ 2.6 ช่องเปิดรูปวงกลม และคำแนะนำงบนแผ่นแพร่พลังงานบนระนาบ  $xy$

โดยที่พื้นที่ปริมาณน้อยๆ  $ds'$  จะสอดคล้องตามโครงสร้างดังรูปที่ 2.6 สามารถเขียนในระบบพิกัดทรงกระบอกได้

$$ds' = \rho' d\rho' d\phi' \quad (2.12)$$

ความแตกต่างของเส้นทาง (path different) จากแหล่งกำเนิด ถึงจุดสังเกต ซึ่งก็คือ  $\hat{\mathbf{a}}_r \cdot \mathbf{r}'$  สามารถหาผลคูณแบบบุคคลได้ง่ายในระบบพิกัดทรงกระบอก ดังนี้

$$\hat{\mathbf{a}}_r \cdot \mathbf{r}' = x' \sin \theta \cos \phi + y' \sin \theta \sin \phi \quad (2.13)$$

ตำแหน่งของแหล่งกำเนิดในพิกัดกลาง  $(x', y')$  สามารถเขียนในพิกัดทรงกระบอกได้ ดังนี้

$$\begin{aligned} x' &= \rho' \cos \phi' \\ y' &= \rho' \sin \phi' \end{aligned} \quad (2.14)$$

ดังนั้นความแตกต่างของเส้นทางจากแหล่งกำเนิด ถึงจุดสังเกตในพิกัดทรงกระบอกสามารถเขียนได้

$$\hat{\mathbf{a}}_r \cdot \mathbf{r}' = \sin \theta \cos \phi' \rho' \cos \phi' + \sin \theta \sin \phi' \rho' \sin \phi' \quad (2.15\text{ก})$$

โดยใช้เอกลักษณ์ตรีโกณฯ  $\cos(A - B) = \cos A \cos B + \sin A \sin B$  สมการ (2.15ก) สามารถเขียนใหม่ได้

$$\hat{\mathbf{a}}_r \cdot \mathbf{r}' = \rho' \sin \theta \cos(\phi - \phi') \quad (2.15\text{ข})$$

เมื่อทราบศักย์เชิงเวกเตอร์  $\mathbf{A}$  และ สนามไฟฟ้า และสนามแม่เหล็กที่มีกำเนิดจาก  $\mathbf{A}$  ในย่านสนาม ใกล้มีค่าเป็น

$$\mathbf{E}_A \cong -j\omega \mathbf{A}_r \quad (2.16\text{ก})$$

$$\mathbf{H}_A \cong \frac{\hat{\mathbf{a}}_r}{\eta} \times \mathbf{E}_A = j \frac{\omega}{\eta} \hat{\mathbf{a}}_r \times \mathbf{A}_r \quad (2.16\text{ข})$$

ชั้งสามารถเขียนแยกองค์ประกอบได้เป็น

$$(E_A)_r \cong 0 \quad (2.17\text{ก})$$

$$(E_A)_{\theta} \cong -j\omega A_{\theta} \quad (2.17\text{ข})$$

$$(E_A)_{\phi} \cong -j\omega A_{\phi} \quad (2.17\text{ค})$$

$$(H_A)_r \cong 0 \quad (2.17\text{ง})$$

$$(H_A)_{\theta} \cong +j\frac{\omega}{\eta} A_{\phi} = \frac{E_{\phi}}{\eta} \quad (2.17\text{จ})$$

$$(H_A)_{\phi} \cong -j\frac{\omega}{\eta} A_{\theta} = \frac{E_{\theta}}{\eta} \quad (2.17\text{ฉ})$$

เมื่อทราบศักย์เชิงเวกเตอร์  $\mathbf{F}$  และ สนามไฟฟ้า และสนามแม่เหล็กที่มีกำเนิดจาก  $\mathbf{F}$  ในย่านสนามไกลนีค่าเป็น

$$\mathbf{H}_F \cong -j\omega \mathbf{F}_r \quad (2.18\text{ก})$$

$$\mathbf{E}_F \cong -\eta \hat{\mathbf{a}}_r \times \mathbf{H}_F = j\omega \eta \hat{\mathbf{a}}_r \times \mathbf{F}_r \quad (2.18\text{ข})$$

ชั้งสามารถเขียนแยกออกได้เป็น

$$(H_F)_r \cong 0 \quad (2.19\text{ก})$$

$$(H_F)_{\theta} \cong -j\omega F_{\theta} \quad (2.19\text{ข})$$

$$(H_F)_{\phi} \cong -j\omega F_{\phi} \quad (2.19\text{ค})$$

$$(E_F)_r \cong 0 \quad (2.19\text{ง})$$

$$(E_F)_{\theta} \cong -j\omega \eta F_{\phi} = \eta H_{\phi} \quad (2.19\text{จ})$$

$$(E_F)_{\phi} \cong +j\omega \eta F_{\theta} = -\eta H_{\theta} \quad (2.19\text{ฉ})$$

รวมสมการ (2. 17ก) ถึง (2. 17ฉ) กับ (2. 19ก) ถึง (2. 19ฉ) องค์ประกอบของสนามไฟฟ้า  $\mathbf{E}$  และ สนามแม่เหล็ก  $\mathbf{H}$  ในย่านสนามไกลนีดังนี้

$$E_r \cong 0 \quad (2.20\text{ก})$$

$$E_{\theta} \cong (E_A)_{\theta} + (E_F)_{\theta} = -j\omega [A_{\theta} + \eta F_{\phi}] \quad (2.20\text{ข})$$

$$E_{\phi} \cong (E_A)_{\phi} + (E_F)_{\phi} = -j\omega [A_{\phi} - \eta F_{\theta}] \quad (2.20\text{ค})$$

$$H_r \cong 0 \quad (2.20\text{a})$$

$$H_\theta \cong (H_A)_\theta + (H_F)_\theta = + \frac{j\omega}{\eta} [A_\phi - \eta F_\theta] \quad (2.20\text{b})$$

$$H_\phi \cong (H_A)_\phi + (H_F)_\phi = - \frac{j\omega}{\eta} [A_\theta + \eta F_\phi] \quad (2.20\text{c})$$

ศักย์เชิงเวกเตอร์  $A_\theta$ ,  $A_\phi$ ,  $F_\theta$  และ  $F_\phi$  จะสัมพันธ์กับ  $\mathbf{N}$  และ  $\mathbf{L}$  ตามสมการ (2.8ก) ถึง (2.8ง) ดังนี้

$$A_\theta = \frac{\mu e^{-j\beta r}}{4\pi r} N_\theta \quad (2.21\text{a})$$

$$A_\phi = \frac{\mu e^{-j\beta r}}{4\pi r} N_\phi \quad (2.21\text{b})$$

$$F_\theta = \frac{\varepsilon e^{-j\beta r}}{4\pi r} L_\theta \quad (2.21\text{c})$$

$$F_\phi = \frac{\varepsilon e^{-j\beta r}}{4\pi r} L_\phi \quad (2.21\text{d})$$

โดยอาศัยสมการ (2.21ก) ถึง (2.21ง) สามารถเขียนได้เป็น

$$E_r \cong 0 \quad (2.22\text{a})$$

$$E_\theta \cong - \frac{j\beta e^{-j\beta r}}{4\pi r} (L_\phi + \eta N_\theta) \quad (2.22\text{b})$$

$$E_\phi \cong + \frac{j\beta e^{-j\beta r}}{4\pi r} (L_\theta - \eta N_\phi) \quad (2.22\text{c})$$

$$H_r \cong 0 \quad (2.22\text{d})$$

$$H_\theta \cong + \frac{j\beta e^{-j\beta r}}{4\pi r} \left( N_\phi - \frac{L_\theta}{\eta} \right) \quad (2.22\text{e})$$

$$H_\phi \cong - \frac{j\beta e^{-j\beta r}}{4\pi r} \left( N_\theta + \frac{L_\phi}{\eta} \right) \quad (2.22\text{f})$$

โดยที่  $\beta$  คือ ค่าคงตัวเฟส (phase constant) ซึ่งก็คือจำนวนเฟสที่เปลี่ยนแปลงเมื่อคลื่นเคลื่อนที่ไปเป็นระยะ 1 เมตร โดยมีค่าตามสมการ

$$\beta = \omega \sqrt{\mu_0 \varepsilon_0} \quad \text{rad/m} \quad (2.23)$$

โดยที่  $\eta$  คือ อิมพีเดนซ์อินทรินซิก (intrinsic impedance) ซึ่งเป็นค่าคงที่ที่แสดงถึงคุณสมบัติทางไฟฟ้ากับแม่เหล็กของตัวกลาง และมีค่าเป็น

$$\eta = \sqrt{\frac{\mu_0}{\epsilon_0}} \approx 120\pi \quad \Omega \quad (2.24)$$

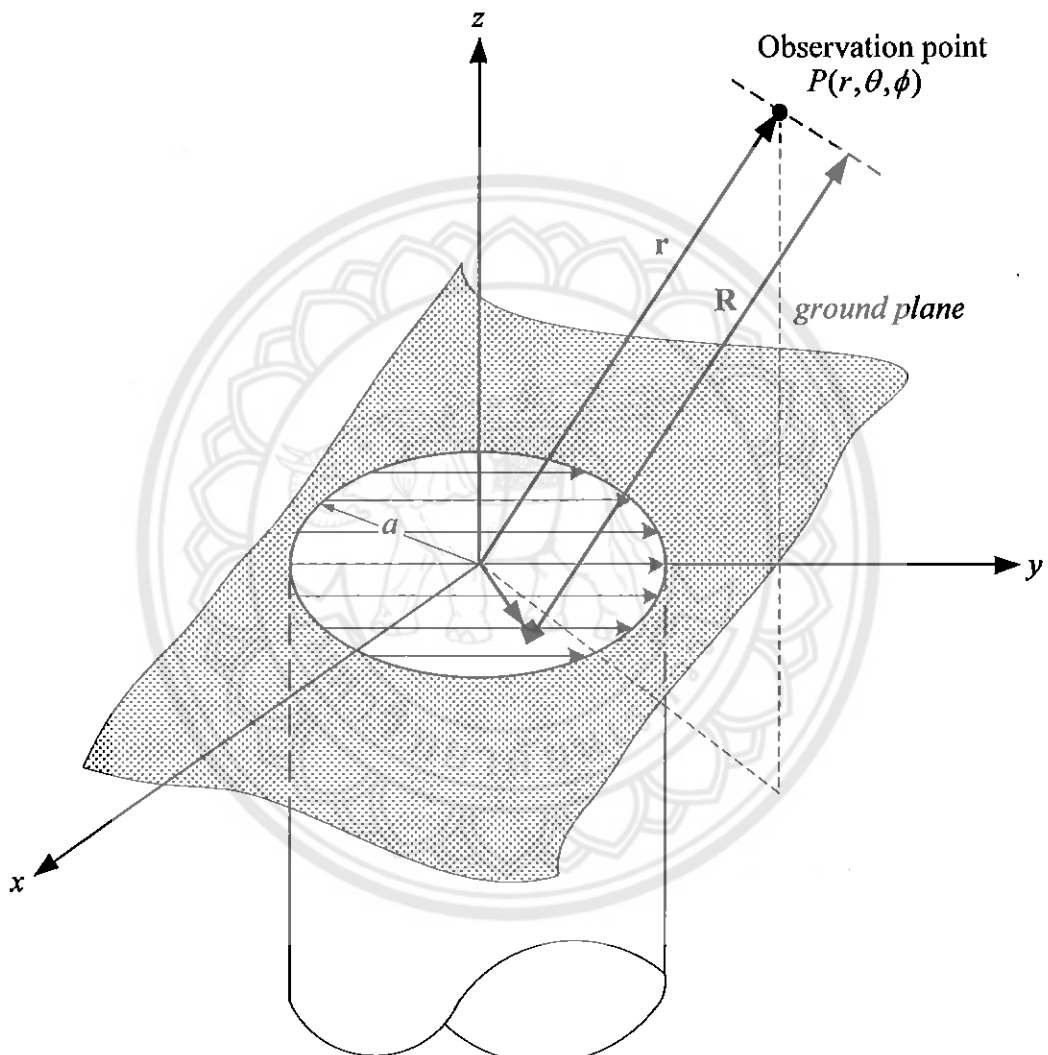
โดยที่  $\mu_0$  คือความซึมซาบได้ (permeability) ของปริภูมิว่าง (free space) ซึ่งมีค่า  $4\pi \times 10^{-7} \text{ H/m}$

$\epsilon_0$  คือสภาวะขอม (permittivity) ของปริภูมิว่าง (free space) ซึ่งมีค่า  $8.854 \times 10^{-12} \text{ F/m}$



## 2.5 สายอากาศช่องเปิดที่มีการกระจายคงรูปบนระนาบดินไม่จำกัด (Uniform Distribution on an Infinite Ground Plane)

สายอากาศช่องเปิดที่นำมาพิจารณา คือ ช่องเปิดรูปวงกลมติดตั้งบนระนาบดินไม่จำกัด ที่มีรัศมีเท่ากับ  $a$  ดังแสดงในรูปที่ 2.7 สนามไฟฟ้าที่อยู่บนช่องเปิดได้รับการสมมติให้เป็นค่าคงที่ กำหนดโดยสมการ



รูปที่ 2.7 ช่องเปิดรูปวงกลมที่มีการกระจายตัวแบบคงรูปบนระนาบดินไม่จำกัด

$$\mathbf{E}_a = \hat{\mathbf{a}}_y E_0, \quad \rho' \leq a, \quad (2.25)$$

เมื่อ  $E_0$  คือ ค่าคงที่ เพื่อที่จะให้ได้สนามในย่านสนาม จำเป็นต้องทราบกระแสสัมฤทธิ์อน ซึ่งสามารถหาได้จากหลักการสมนูลที่ได้กล่าวไว้แล้วก่อนหน้านี้

### 2.5.1 สนามที่แผ่ออกไป (Radiation Field)

สนามที่แผ่ออกไปในข่ายสนามไกตากซึ่งเปิดตามรูปที่ 2.7 สามารถหาได้โดย

$$\mathbf{N}_\theta = \mathbf{N}_\phi = 0 \quad (2.26\text{ก})$$

$$\mathbf{L}_\theta = 2E_0 \cos\theta \cos\phi \int_0^\rho \rho' \left[ \int_0^{2\pi} e^{+jk\rho'\sin\theta\cos(\phi-\phi')} d\phi' \right] d\rho' \quad (2.26\text{ข})$$

เนื่องจาก  $\int_0^{2\pi} e^{+jk\rho'\sin\theta\cos(\phi-\phi')} d\phi' = 2\pi J_0(k\rho'\sin\theta)$  จะได้

$$\mathbf{L}_\theta = 4\pi E_0 \cos\theta \cos\phi \int_0^\rho J_0(k\rho'\sin\theta) \rho' d\rho' \quad (2.26\text{ค})$$

โดยที่  $J_0(t)$  คือฟังก์ชันแบบแซลชนิกที่หนึ่งอันดับ 0

$$\begin{aligned} t &= k\rho'\sin\theta \\ dt &= k\sin\theta d\rho' \end{aligned} \quad (2.27)$$

โดยใช้ (2.24) ทำให้ได้

$$\mathbf{L}_\theta = \frac{4\pi E_0 \cos\theta \cos\phi}{(k\sin\theta)^2} \int_0^{k\sin\theta} t J_0(t) dt \quad (2.28\text{ก})$$

เนื่องจาก  $\int z J_0(z) dz = z J_1(z) \Big|_0^\rho = \beta J_1(\beta)$

โดยที่  $J_1(\beta)$  คือฟังก์ชันแบบแซลชนิกที่หนึ่งอันดับที่ 1 และเขียนได้

$$\mathbf{L}_\theta = 4\pi a^2 E_0 \left\{ \cos\theta \cos\phi \left[ \frac{J_1(k\sin\theta)}{k\sin\theta} \right] \right\} \quad (2.28\text{ข})$$

ในการของเดิวกัน สามารถหา  $\mathbf{L}_\phi$  ได้ดังสมการ

$$\mathbf{L}_\phi = -4\pi a^2 E_0 \sin\theta \left[ \frac{J_1(k\sin\theta)}{k\sin\theta} \right] \quad (2.29)$$

นำสมการ(2.24), (2.28ง), และ (2.29) แทนลงในสมการ (2.21ก)-(2.21ค) ทำให้ได้สนามที่แห่งออกไปโดยช่องเปิด เปลี่ยนได้เป็น

$$E_r = 0 \quad (2.30\text{ก})$$

$$E_\theta = j \frac{ka^2 E_0 e^{-jkr}}{r} \left\{ \sin \phi \left[ \frac{J_1(ka \sin \theta)}{ka \sin \theta} \right] \right\} \quad (2.30\text{ง})$$

$$E_\phi = j \frac{ka^2 E_0 e^{-jkr}}{r} \left\{ \cos \theta \cos \phi \left[ \frac{J_1(ka \sin \theta)}{ka \sin \theta} \right] \right\} \quad (2.30\text{ค})$$

$$H_r = 0 \quad (2.30\text{ก})$$

$$H_\theta = -\frac{E_\phi}{\eta} \quad (2.30\text{ง})$$

$$H_\phi = +\frac{E_\theta}{\eta} \quad (2.30\text{ค})$$

สมการ (2.30ก) - (2.30ค) แสดงการกระจายตัวของสนามที่แห่งออกไปในย่านสนามไกลโดยช่องเปิดในการใช้งานส่วนใหญ่ จะนิยมใช้แบบรูป平淡กรอบสนามไฟฟ้า (principal  $E$ -plane) และระนาบสนามแม่เหล็ก (principal  $H$ -plane) สำหรับโครงสร้างในรูปที่ 2.7 แบบรูป平淡สนามไฟฟ้าอยู่บนระนาบ  $y$ - $z$  ( $\phi = \pi/2$ ) และระนาบสนามแม่เหล็กอยู่บนระนาบ  $x$ - $z$  ( $\phi = 0$ ) เปลี่ยนเป็นสมการได้ดังนี้

**$E$ -Plane ( $\phi = \pi/2$ )**

$$E_r = E_\phi = 0 \quad (2.31\text{ก})$$

$$E_\theta = j \frac{ka^2 E_0 e^{-jkr}}{r} \left[ \frac{J_1(ka \sin \theta)}{ka \sin \theta} \right] \quad (2.31\text{ง})$$

**$H$ -Plane ( $\phi = 0$ )**

$$E_r = E_\theta = 0 \quad (2.32\text{ก})$$

$$E_\phi = j \frac{ka^2 E_0 e^{-jkr}}{r} \left\{ \cos \theta \left[ \frac{J_1(ka \sin \theta)}{ka \sin \theta} \right] \right\} \quad (2.32\text{ง})$$

### 2.5.2 สภาพเจาะจงทิศทาง (Directivity)

สภาพเจาะจงทิศทางเป็นพารามิเตอร์ที่บ่งบอกความสามารถในการส่งหรือรับสัญญาณในทิศทางหนึ่งๆของสายอากาศ สภาพเจาะจงทิศทางสูงสุดสามารถหาได้จากวิธีดังต่อไปนี้

$$D(\theta, \phi) = \frac{U(\theta, \phi)}{U_0} = \frac{4\pi U(\theta, \phi)}{P_{\text{rad}}} \quad (2.33)$$

$$D_{\max} = \frac{U(\theta, \phi)|_{\max}}{U_0} = \frac{U_{\max}}{U_0} = \frac{4\pi U_{\max}}{P_{\text{rad}}} \quad (2.34)$$

โดยที่  $D(\theta, \phi)$  คือ สภาพเจาะจงทิศทาง (ไม่มีหน่วย)

$D_{\max}$  คือ สภาพเจาะจงทิศทางสูงสุด

$U(\theta, \phi)$  คือ ความเข้มการแผ่พลังงาน (W/unit solid angle)

$U_{\max}$  คือ ความเข้มการแผ่พลังงานสูงสุด

$P_{\text{rad}}$  คือ พลังงานที่แผ่ออกไป (radiated power) (W)

โดยปกติแล้ว พลังงานที่แผ่ออกไป (radiated power) จะคำนวณจากสนามไฟฟ้าและสนามแม่เหล็กในย่านสนามใกล้ ซึ่งสนามมีค่าตาม (2.30ก) - (2.30ก) การคำนวณดังกล่าวจะมีความยุ่งยากเป็นอย่างมาก เพื่อความสะดวกจะคำนวณจากอีกวิธีหนึ่ง วิธีนี้อาศัยกฎการอนุรักษ์ของพลังงาน ซึ่งก็คือ เนื่องจากตัวกลางไม่มีความสูญเสีย (lossless media) พลังงานที่แผ่ออกไปในย่านสนามใกล้จะมีค่าเท่ากับพลังงานที่คำนวณจากสนามที่อยู่บนช่องปิดของสายอากาศ ทำให้ได้พลังงานที่อยู่บนช่องปิดของสายอากาศมีค่าเป็น

$$P_{\text{rad}} = \frac{|E_0|^2}{2\eta} = \iint_{S_r} ds = \pi a^2 \frac{|E_0|^2}{2\eta} \quad (2.35)$$

เมื่อ  $\eta$  คือ อิมพิเดนซ์อินทรินซิก (intrinsic impedance) ของอากาศว่าง

เพื่อที่จะหาสภาพเจาะจงทิศทาง พารามิเตอร์ที่จำเป็นต้องทราบนอกเหนือจาก  $P_{\text{rad}}$  ก็คือความเข้มการแผ่พลังงาน  $U(\theta, \phi)$  ซึ่งมีความสัมพันธ์กับความหนาแน่นพลังงานที่แผ่ออกไปตามสมการดังต่อไปนี้

$$U(\theta, \phi) = W_{\text{rad}} \cdot \hat{\mathbf{a}}_r r^2 \quad (2.36)$$

เมื่อ

$$\mathbf{W}_{\text{rad}} = \frac{1}{2} \operatorname{Re} \left[ (\hat{\mathbf{a}}_\theta E_\theta + \hat{\mathbf{a}}_\phi E_\phi) \times (\hat{\mathbf{a}}_\theta H_\theta + \hat{\mathbf{a}}_\phi H_\phi)^\dagger \right] \quad (2.37)$$

ทำให้ได้

$$\begin{aligned} U(\theta, \phi) &= \frac{r^2}{2\eta} \left( |E_\theta(r, \theta, \phi)|^2 + |E_\phi(r, \theta, \phi)|^2 \right) \\ &= \frac{1}{2\eta} \left( |E_\theta^0(\theta, \phi)|^2 + |E_\phi^0(\theta, \phi)|^2 \right) \end{aligned} \quad (2.38)$$

โดยที่  $E_\theta^0$  และ  $E_\phi^0$  คือ สนามไฟฟ้าในแนว  $\theta$  และ  $\phi$  ซึ่งไม่ขึ้นกับระยะทาง  $r$  ในยานสนาณ์ ก็กล  
และเป็นสนามที่แผ่ออกจากสายอากาศช่องเปิด

โดยใช้ค่าสนามในสมการ (2.31ก) - (2.31ข) ค่าสูงสุดของความเข้มการแผ่พလังงาน ( $U_{\max}$ ) เกิดขึ้น  
ที่  $\theta = 0^\circ$  มีค่าเท่ากับ  $0^\circ$  มีค่าเป็น

$$U_{\max} = U(\theta, \phi)|_{\max} = \left( \frac{\pi a^2}{\lambda} \right)^2 \frac{|E_0|^2}{2\eta} \quad (2.39)$$

ดังนั้น สภาพเชิงทิศทาง จะมีสมการเป็น

$$D_0 = \frac{4\pi}{\lambda^2} (\pi a^2) = \frac{4\pi}{\lambda^2} A_p = \frac{4\pi}{\lambda^2} A_{em} = \left( \frac{2\pi a}{\lambda} \right)^2 \quad (2.40)$$

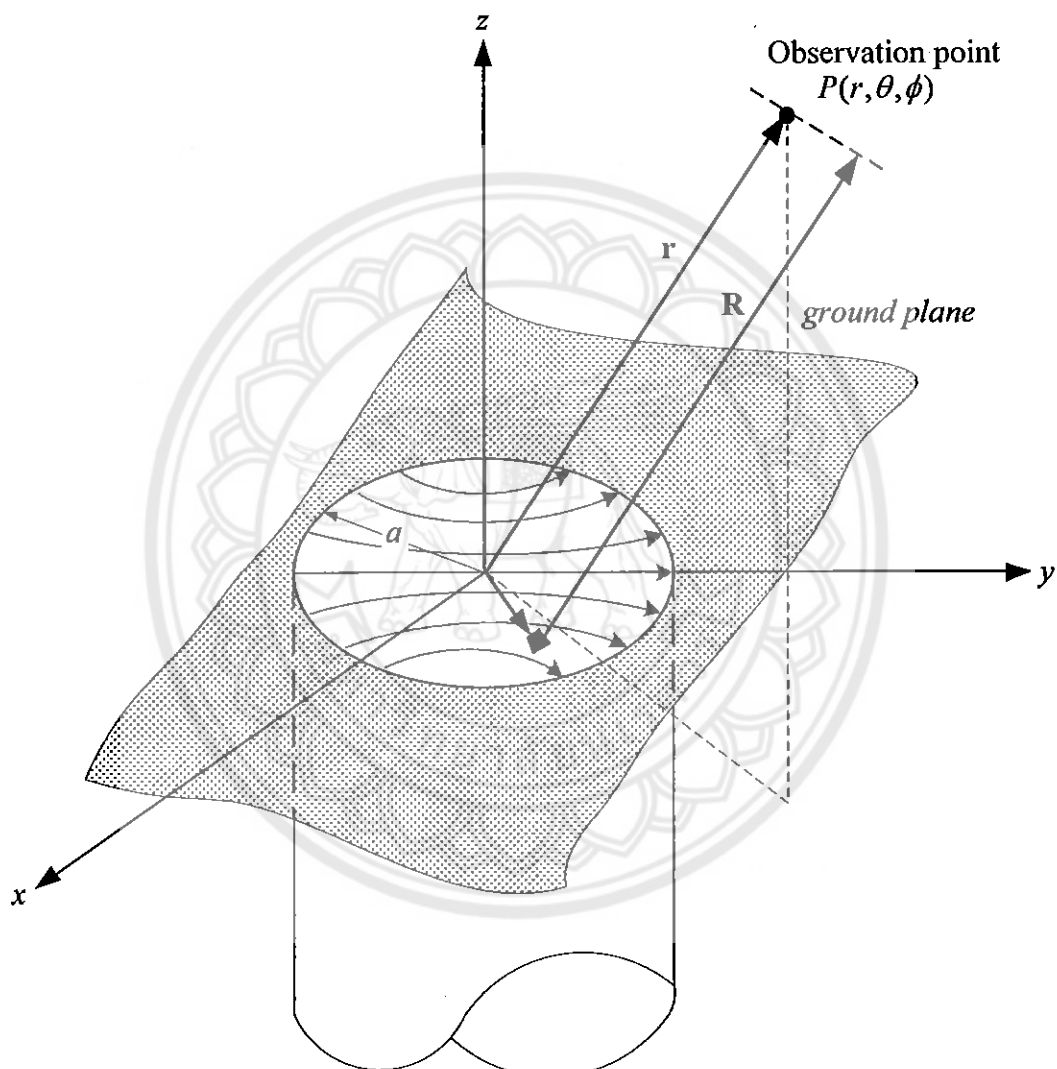
เมื่อ  $A_p$  คือ พื้นที่ทางกายภาพของช่องเปิด (physical area of aperture)

$A_{em}$  คือ พื้นที่ประสิทธิผลสูงสุดของช่องเปิด (maximum effective area of aperture)

## 2.6 สายอากาศช่องเปิดที่มีการกระจายในแบบแผนคลื่น $TE_{11}$ บนระนาบดินไม่จำกัด

### ( $TE_{11}$ -Mode Distribution on an Infinite Ground Plane)

สายอากาศช่องเปิดที่นิยมใช้ในทางปฏิบัติ คือสายอากาศที่มีภาคตัดขวางรูปวงกลมของบนระนาบดินไม่จำกัด ที่ชื่อสานามมีแบบแผนคลื่น (mode) เป็น  $TE_{11}$  ดังแสดงในรูปที่ 2.8 สามารถไฟฟ้าบนช่องเปิดในแบบแผนคลื่นนี้สามารถแสดงได้ตามสมการ (2.41)



รูปที่ 2.8 ช่องเปิดรูปวงกลมที่มีการกระจายตัวในแบบแผนคลื่น  $TE_{11}$  บนระนาบดินไม่จำกัด

$$\mathbf{E}_a = \hat{\mathbf{a}}_\rho E_\rho + \hat{\mathbf{a}}_\phi E_\phi \quad (2.41\text{ก})$$

เมื่อ

$$\begin{aligned} E_\rho &= E_0 J_1(\chi'_{11} \rho' / a) \sin \phi' / \rho' \\ E_\phi &= E_0 J'_1(\chi'_{11} \rho' / a) \cos \phi' \end{aligned} \quad (2.41\text{ก})$$

$$\text{โดยที่ } \chi'_{11} = 1.841 \text{ และ } ' = \frac{\partial}{\partial \rho'}$$

โดยอาศัยขั้นตอนเดียวกับกรณีการกระจายคงรูปบนระนาบคินไม่จำกัดในย่านสนาน ประกอบมีค่าเป็น

$$E_r = 0 \quad (2.42\text{ก})$$

$$E_\theta = C_2 \sin \phi \frac{J_1(Z)}{Z} \quad (2.42\text{ก})$$

$$E_\phi = C_2 \cos \theta \cos \phi \frac{J'_1(Z)}{1 - (Z/\chi'_{11})^2} \quad (2.42\text{ก})$$

$$H_r = 0 \quad (2.42\text{ก})$$

$$H_\theta = -\frac{E_\phi}{\eta} \quad (2.42\text{ก})$$

$$H_\phi = +\frac{E_\theta}{\eta} \quad (2.42\text{ก})$$

$$\text{โดยที่ } Z = ka \sin \theta$$

$$C_1 = j \frac{ka^2 E_0 e^{-jkr}}{r} \quad (2.43)$$

$$C_2 = j \frac{ka E_0 J_1(\chi'_{11}) e^{-jkr}}{r} \quad (2.44)$$

$$\chi'_{11} = 1.841 \quad (2.45)$$

$$J'_1(Z) = J_0(Z) - J_1(Z)/Z \quad (2.46)$$

เมื่อหาจากสนานที่กระบวนการซ่องเปิด พลังงานที่แผ่ออกไปมีค่าเท่ากับ

$$P_{\text{rad}} = \oint_S \mathbf{W}_{av} \cdot d\mathbf{s} \quad (2.47)$$

โดยที่ความหนาแน่นพลังงาน พลังงาน  $W_a = \frac{1}{2} \operatorname{Re}[\mathbf{E}_a \times \mathbf{H}_a^*]$  โดยที่  $\mathbf{E}_a$  และ  $\mathbf{H}_a^*$  คือ สนามไฟฟ้าและสนามแม่เหล็กนซ่องปีคของสายอากาศ ตามลำดับ การหา  $P_{rad}$  ตามสมการ (2.39) ไม่สามารถทำได้เนื่องกับในปัจจุบันสายอากาศที่มีการกระจายคงรูป เมื่อจากอิทธิగานด์ไม่ได้เป็นค่าคงตัว จึงจำเป็นต้องอาศัยวิธีการเชิงตัวเลข ในที่นี้การหาค่าอินทิเกรตจะอาศัยกฎสี่เหลี่ยมคงที่ ดังที่แสดงไว้ในภาคผนวก (4) ซึ่งมีผลให้ได้การวิเคราะห์สภาพเจาะจงที่ศักดิ์จะมีค่าเป็น

$$D_0 = 0.836 \left[ \left( \frac{2\pi a}{\lambda} \right)^2 \right] = 10.5\pi \left( \frac{2a}{\lambda} \right)^2 = 0.836 A_p \left( \frac{4\pi}{\lambda^2} \right) = A_{em} \left( \frac{4\pi}{\lambda^2} \right) \quad (2.48)$$

โดยทั่วไป ค่าสูงสุดพื้นที่ประสิทธิผล  $A_{em}$  จะสัมพันธ์กับค่าพื้นที่ทางกายภาพ  $A_p$  โดย

$$A_{em} = \varepsilon_{ap} A_p, \quad 0 \leq \varepsilon_{ap} \leq 1 \quad (2.49)$$

เมื่อ  $\varepsilon_{ap}$  คือ ค่าประสิทธิผลของช่องปีค สำหรับกรณีนี้  $\varepsilon_{ap} = 8/\pi^2 \cong 0.836$

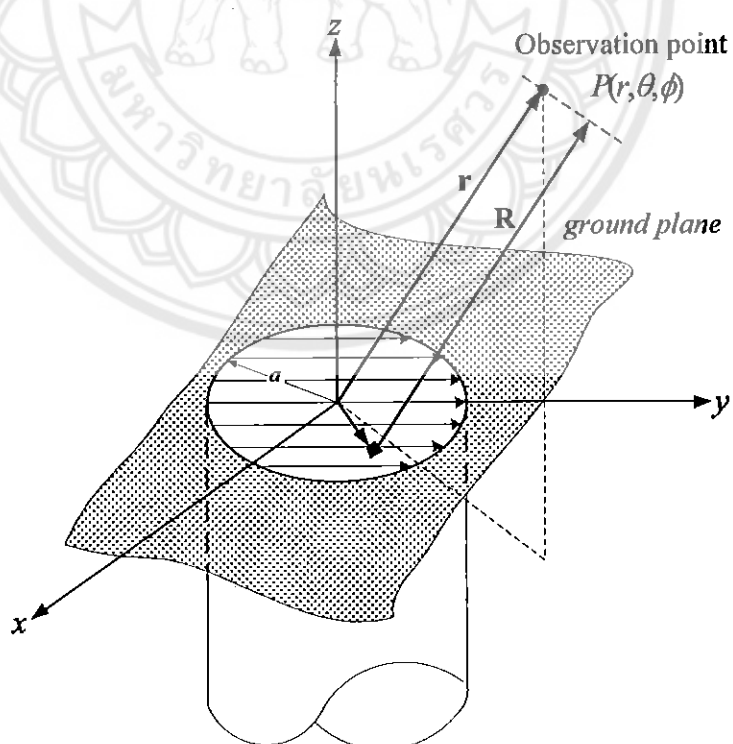
### บทที่ 3

#### ผลการวิเคราะห์สายอากาศช่องเปิด

ในบทนี้จะกล่าวถึงผลการวิเคราะห์สายอากาศช่องเปิดที่มีภาคตัดขวางเป็นรูปวงกลม โดยอาศัยหลักการและทฤษฎีในบทก่อนหน้านี้ ในลำดับแรกจะกล่าวถึงผลการวิเคราะห์ในกรณีสายอากาศที่กระจายตัวคงรูปบนระนาบคืนไม่จำกัด และตามด้วยกรณีที่แบบแผนคลื่นบนช่องเปิดที่อยู่ในแบบแผนคลื่น  $TE_{11}$  ซึ่งแบบแผนคลื่นเด่น (Dominant mode) ในสายอากาศชนิดนี้ โดยผลการวิเคราะห์จะแสดงในรูปของสภาพเฉพาะจังทิศทาง (Directivity) และทั้งสุดจะกล่าวถึงพารามิเตอร์ที่สำคัญอื่นๆ เช่น ความกว้างลำดันครึ่งกำลัง (Half-Power Beamwidth) และระดับพูฟซิง (Side Lobe Level)

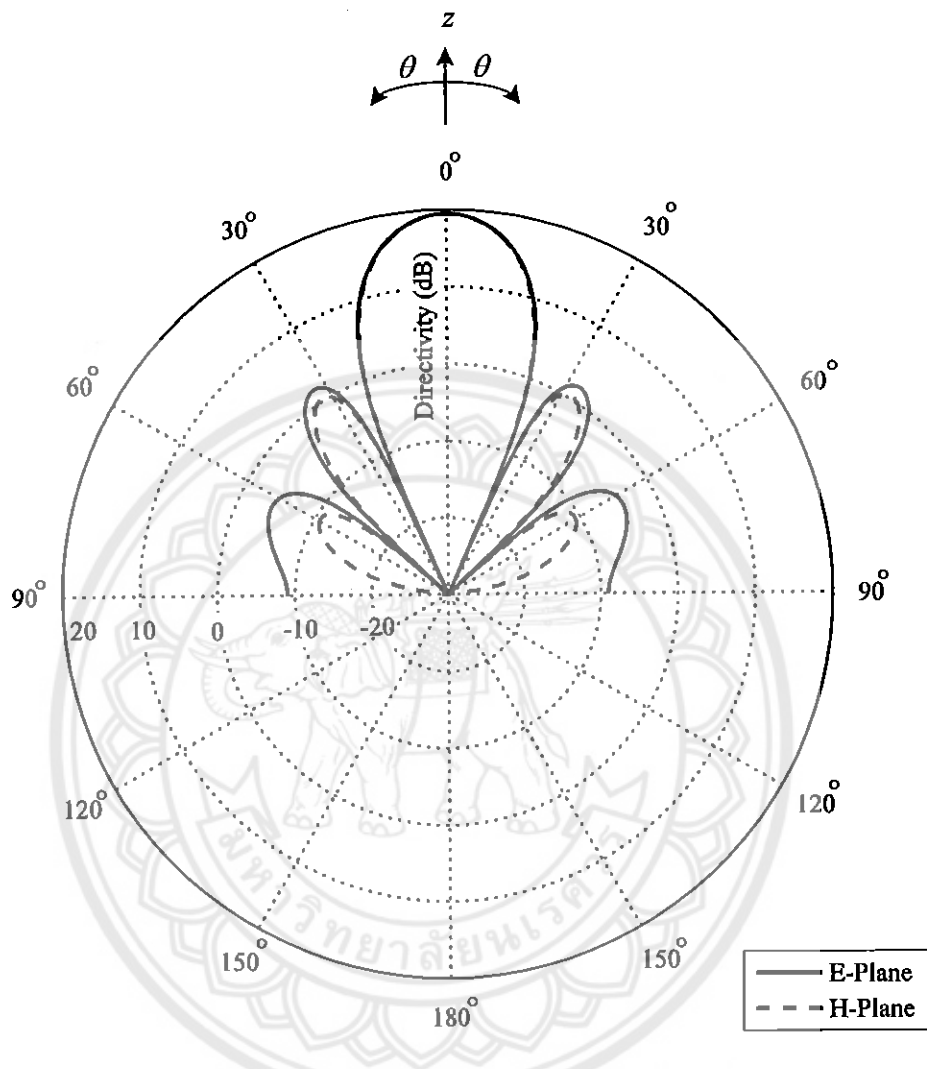
#### 3.1 สายอากาศช่องเปิดที่มีการกระจายคงรูปบนระนาบคืนไม่จำกัด

พิจารณาสายอากาศช่องเปิดที่วางบนระนาบคืนไม่จำกัด ดังแสดงในรูปที่ 3.1 ช่องเปิดคงรูปคลื่นตั้งบนระนาบคืนไม่จำกัด โดยที่รัศมีเท่ากับ  $a$  سانามไฟฟ้าที่ช่องเปิดได้รับการสมมติให้เป็นค่าคงที่ซึ่งกำหนดโดย สมการ (2.25) เมื่อใช้หลักการสมมูลทำให้ได้ความหนาแน่นกระแสแม่เหล็ก เป็นไปได้ตามสมการ (2.1)



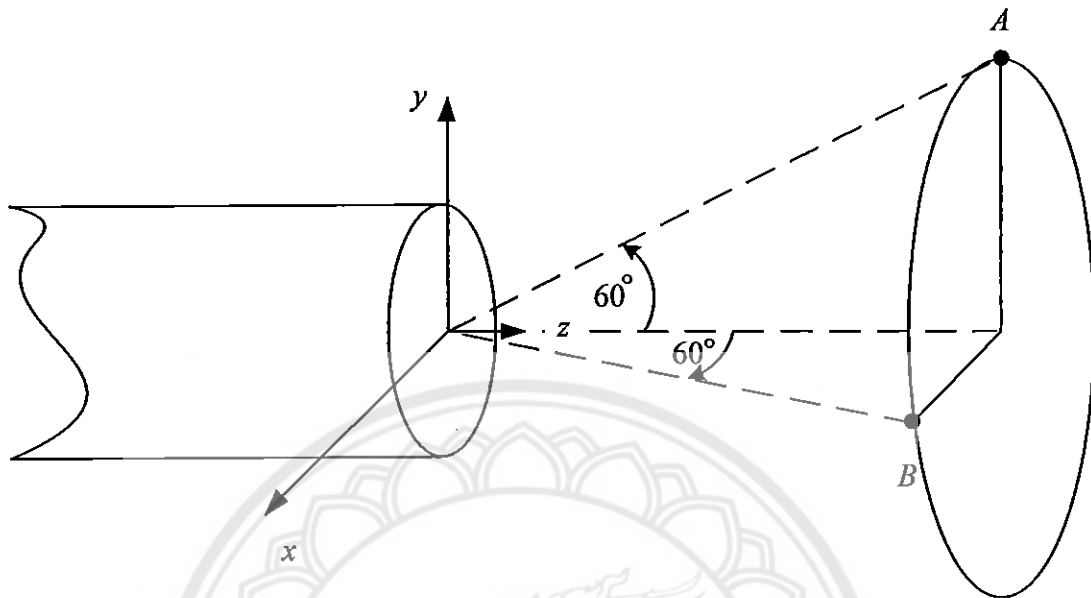
รูปที่ 3.1 สายอากาศช่องเปิดที่มีการกระจายคงรูป

การวิเคราะห์ในย่านสนามใกล้ ทำให้ได้สนามไฟฟ้าและสนามแม่เหล็กดังสมการ (2.21ก) - (2.21ก) นำมารวบรวมเป็นแบบรูปสpatialเจาะจงทิศทางได้ดังแสดงในรูปที่ 3.2



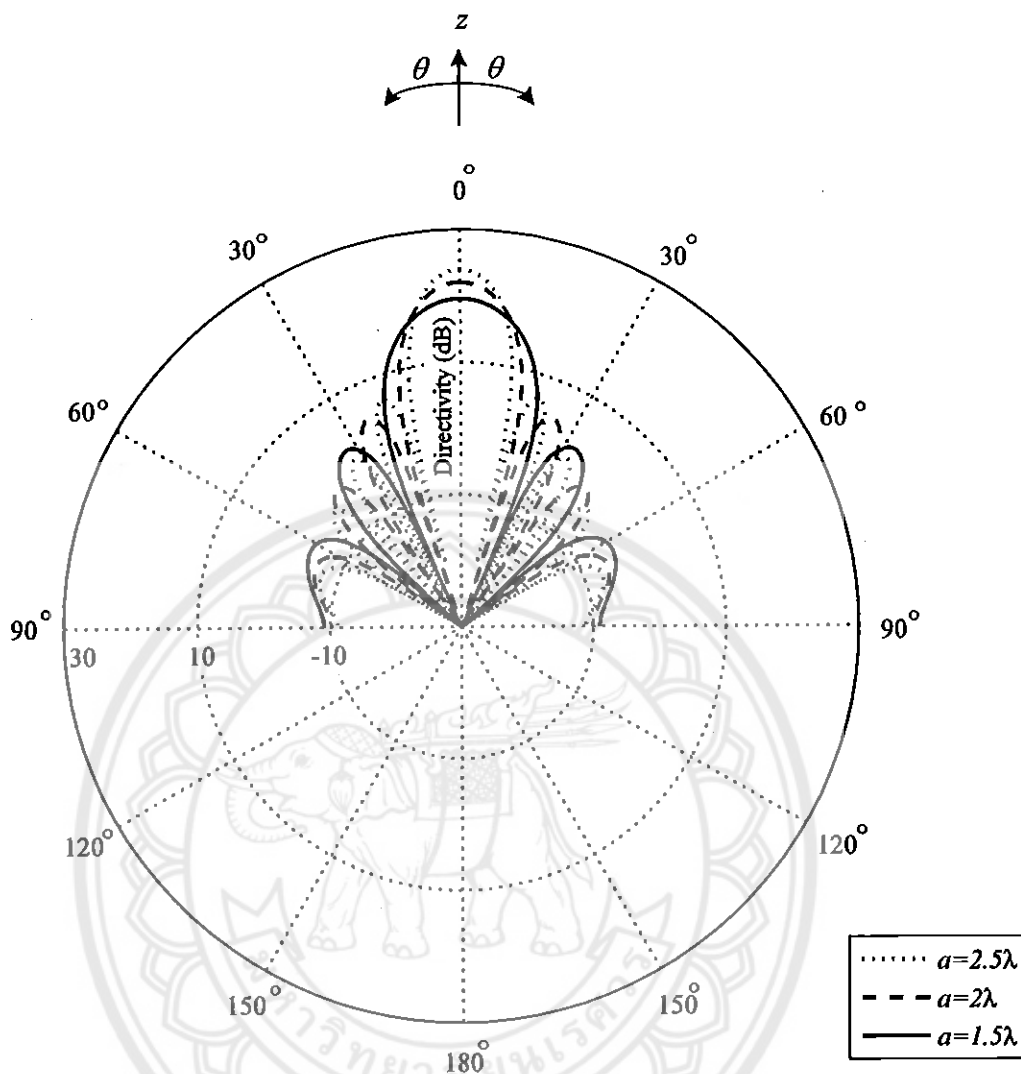
รูปที่ 3.2 แบบรูปสpatialเจาะจงทิศทางของช่องเปิดที่มีการกระจายตัวคงรูปวางแผนระนาบдинไม่จำกัด เมื่อรัศมี  $a = 1.5\lambda$

รูปที่ 3.2 แสดงแบบรูปสpatialเจาะจงทิศทางสำหรับกรณีสายอากาศกระจายตัวคงรูปวางแผนระนาบ din ไม่จำกัดเมื่อ  $a = 1.5\lambda$  เส้นที่บ่งแสดงสpatialเจาะจงทิศทางสำหรับกรณีระนาบสนามไฟฟ้า (*E*-plane) และเส้นประสำหรับกรณีระนาบสนามแม่เหล็ก (*H*-plane) จะเห็นได้ว่า ทั้งสองแบบรูปมีพื้นที่สำหรับ ครอบคลุมบริเวณปริภูมิว่างด้านหน้าของช่องเปิด สpatialเจาะจงทิศทาง ณ ยอดของพู่หลัก เป็นสpatialเจาะจงทิศทางสูงสุด จากกรณีทั้งสองนี้มีค่าเท่ากัน และเท่ากับ  $19.4854 \text{ dB}$  ค่าที่ได้จะสอดคล้องกับผลลัพธ์ที่ได้จากสมการ (2.36) และได้สรุปไว้ในภาคผนวก (ج)



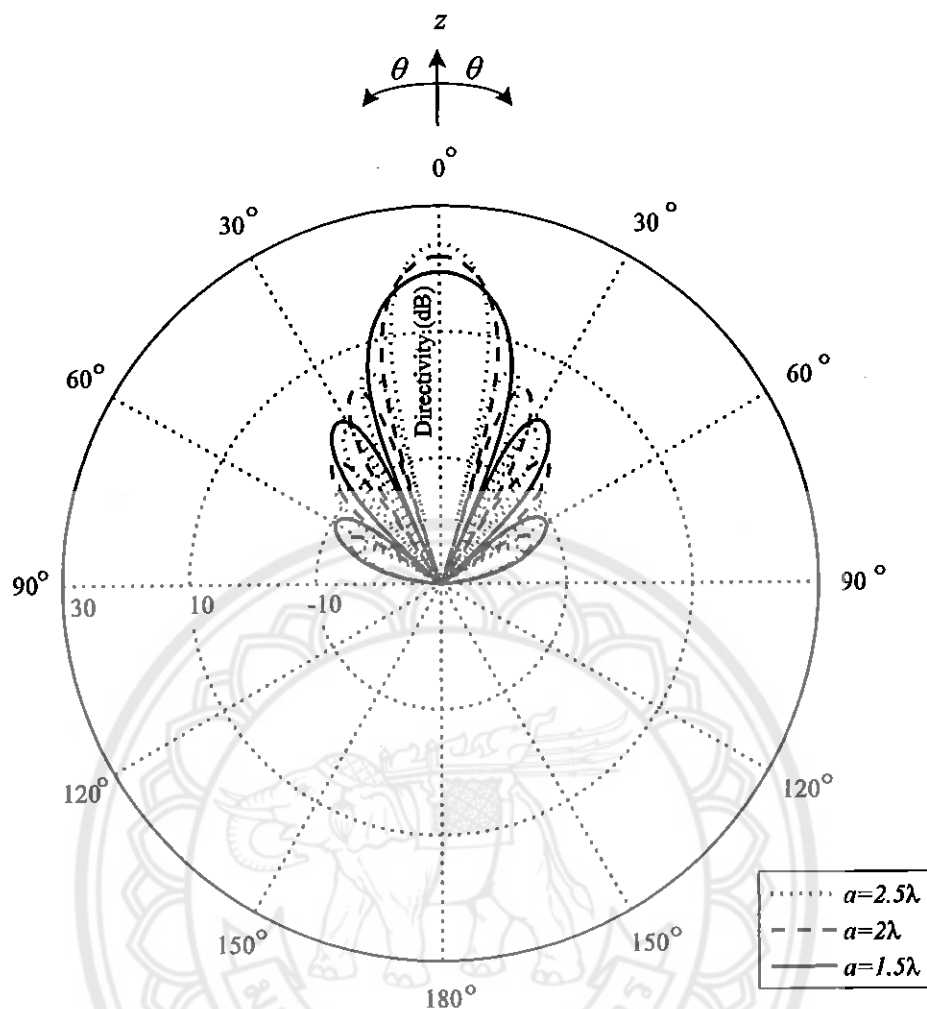
รูปที่ 3.3 การรับสัญญาณของสาขากาบบนจากลมฝนในย่านสนามไกล

รูปที่ 3.3 แสดงสาขากาบซ่องเปิดที่มีภาคตัดขวางรูปวงกลมทางด้านซ้าย และระนาบรับคลื่นลมมติที่ทางด้านขวา จากรับอัซูในย่านสนามไกลและตั้งฉากกับแกน  $z$  พิจารณาบนพื้นผิวกรวยเดียวกันที่ทำมุมจากมุม 60 องศา กับแกน  $z$  และมีจุดยอดอยู่ ณ จุดเริ่มแกน ดังแสดงเป็นเส้นประ พิวกรวยจะตัดกับระนาบรับคลื่นลมมติที่จุด  $A$  และจุด  $B$  จุด  $A$  เป็นจุดต่อระหว่างพิวกรวยและระนาบลมมติ บนระนาบ  $y-z$  จุด  $B$  เป็นจุดต่อระหว่างสองระนาบที่ว่ามีและอยู่บนระนาบ  $x-z$   $A$  เป็นจุดที่อยู่บนระนาบสนามไฟฟ้า และจุด  $B$  อยู่บนระนาบสนามแม่เหล็ก เมื่อพิจารณารูปที่ 3.2 ณ มุม 60 องศา จะพบว่า สภาพเจาะจงที่ศึกษาบนระนาบสนามไฟฟ้าจะมีค่าสูงกว่าบนระนาบสนามแม่เหล็ก และพัฒนาที่ได้รับก็จะมีค่าสูงกว่าด้วย



รูปที่ 3.4 แบบรูปสภาระเจาะงทิศทางของช่องเปิดที่มีการกระจายตัวคงรูปบนระนาบสนาณไฟฟ้า โดยเปลี่ยนค่ารัศมี  $a = 1.5\lambda, 2\lambda$  และ  $2.5\lambda$

รูปที่ 3.4 แสดงสภาระเจาะงทิศทางบนระนาบสนาณไฟฟ้า (E-plane) เมื่อ แปรเปลี่ยนขนาดของช่องเปิด โดยให้  $a$  มีค่าเป็น  $1.5\lambda, 2\lambda$  และ  $2.5\lambda$  โดยที่เส้นทึบแสดงสำหรับรัศมี  $a = 1.5$  เส้นประ และเส้นจุด แสดงสำหรับรัศมี  $a = 2\lambda$  และ  $2.5\lambda$  ตามลำดับ จะเห็นได้ว่าจะเห็นได้ว่าเมื่อ  $a$  เพิ่มขึ้น สภาระเจาะงทิศทางและจำนวนพูชนีค่าเพิ่มขึ้นด้วย ในที่นี้มีค่าเท่ากับ  $19.4854$  dB,  $21.9842$  dB และ  $23.9224$  dB เมื่อ  $a = 1.5\lambda, 2\lambda$  และ  $2.5\lambda$  ตามลำดับจำนวนพูที่ครอบคลุม ด้านหน้าของช่องเปิดจะเท่ากับ 5, 7 และ 9 ตามลำดับ

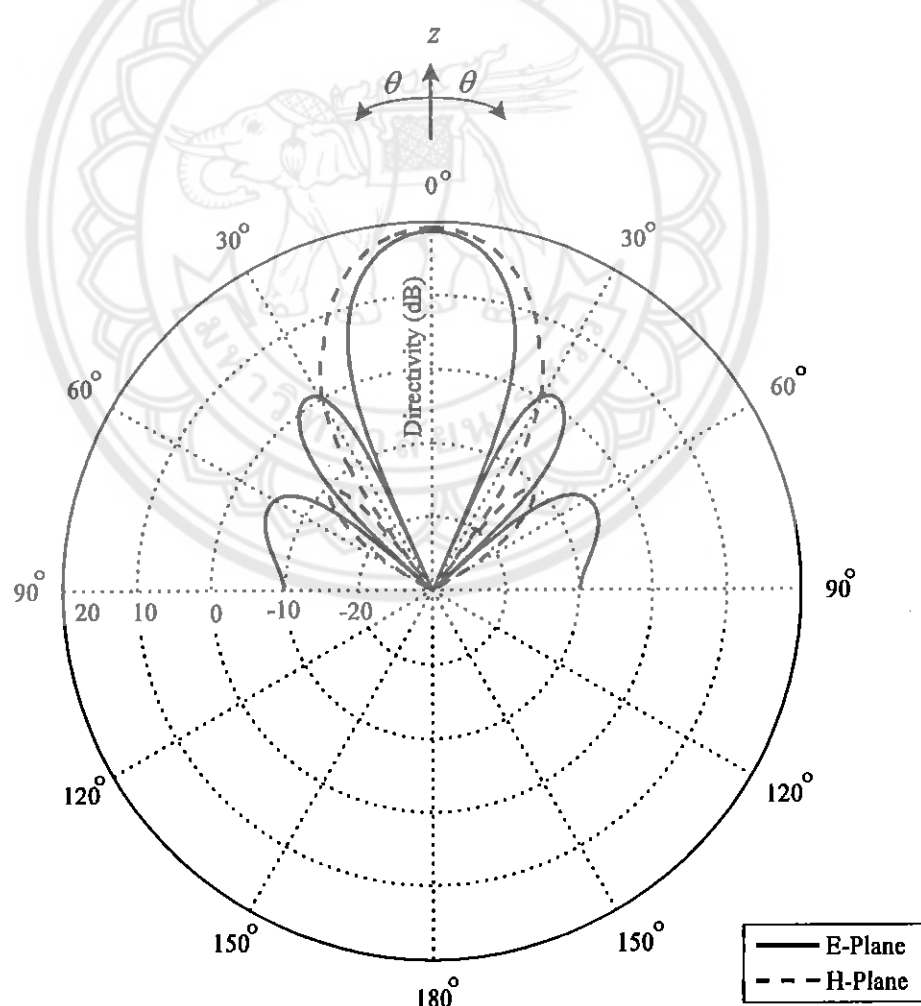


รูปที่ 3.5 แบบรูปสภาระเจาะงทิศทางของช่องเปิดที่มีการกระจายตัวคงรูปบนระนาบ  
stanamແມ່ເຫດກໂດຍແປເປີເປີ້ນຄໍາ  $a = 1.5\lambda, 2\lambda$  ແລະ  $2.5\lambda$

รูปที่ 3.5 แสดงสภาระเจาะงทิศทางกรณีเปลี่ยนขนาดของช่องเปิด โดยให้รัศมี  $a$  มีค่าเป็น  $1.5\lambda$ ,  $2\lambda$  และ  $2.5\lambda$  โดยที่เส้นทึบแสดงสำหรับรัศมี  $a = 1.5$  เส้นประและเส้นขุค แสดงสำหรับรัศมี  $a = 2\lambda$  และ  $2.5\lambda$  ตามลำดับ จะเห็นได้ว่าจะเห็นได้ว่าเมื่อ  $a$  เพิ่มขึ้น สภาระเจาะงทิศทางและจำนวนพูจະมีค่าเพิ่มขึ้นด้วย ในที่นี้มีค่าเท่ากับ  $19.4854$  dB,  $21.9842$  dB และ  $23.9224$  dB เมื่อ  $a = 1.5\lambda, 2\lambda$  และ  $2.5\lambda$  ตามลำดับ จำนวนพูจະที่ครอบคลุมด้านหน้าของช่องเปิดจะเท่ากับ 5, 7 และ 9 ตามลำดับ ความสัมพันธ์ของสภาระเจาะงทิศทางและจำนวนพูจະกับขนาดของช่องเปิด จะมีค่าสอดคล้องกับกรณีสถานไฟฟ้า

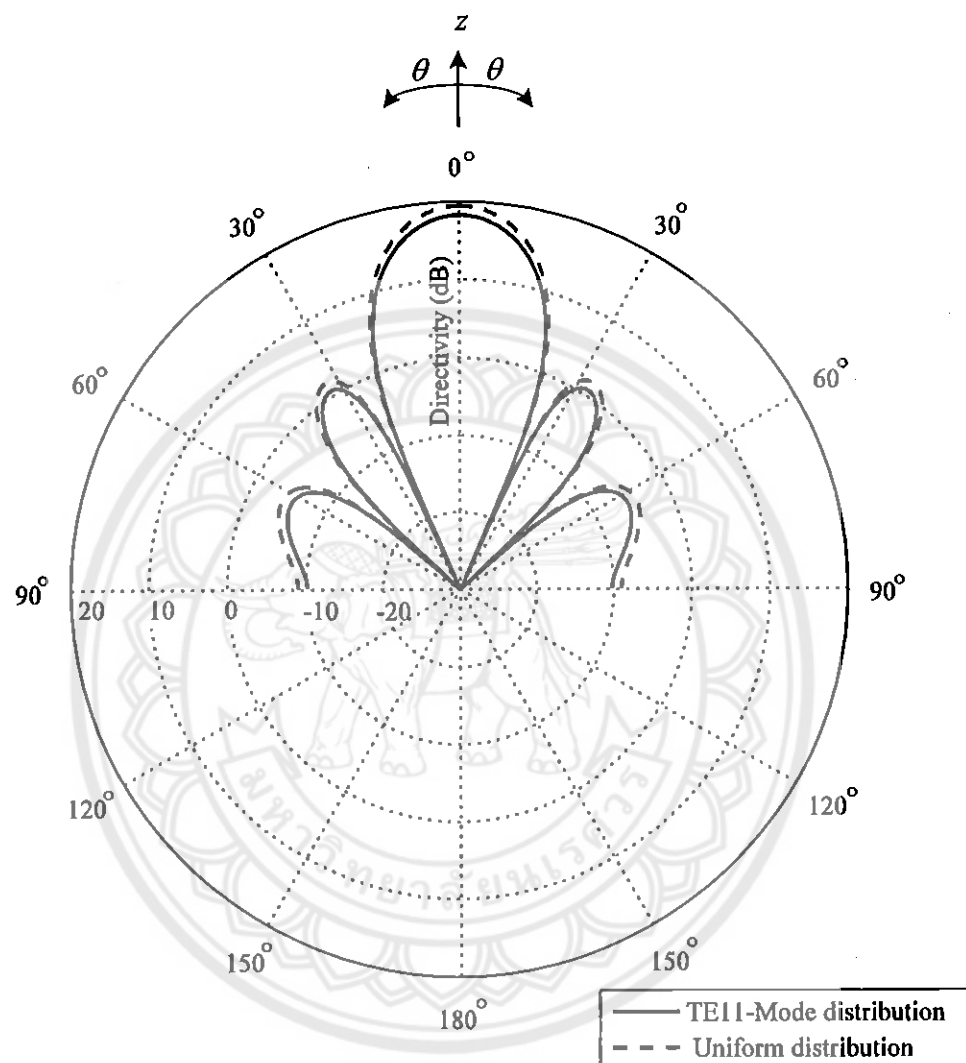
**3.2 สายอากาศช่องเปิดที่มีการกระจายในแบบแผนคลื่น  $TE_{11}$  บนระนาบดินไม่จำกัด**  
 สายอากาศช่องเปิดที่นิยนใช้ในทางปฏิบัติ คือสายอากาศที่มีภาคตัดขวางวงกลมวงบนระนาบดิน  
 ไม่จำกัด ที่ซึ่งสนามมีแบบแผนคลื่น (mode) เป็น  $TE_{11}$  สนามไฟฟ้าในแบบแผนคลื่นนี้สามารถ  
 แสดงได้ตามสมการ (2.38ก) - (2.38ฉ)

โครงสร้างที่นำมารวเคราะห์ที่เป็นเช่นเดียวกันกับกรณีสายอากาศที่วางบนระนาบดิน เมื่อ  
 สนามมีแบบแผนคลื่นเป็น  $TE_{11}$  สภาพเจาะจงทิศทางสามารถได้ดังรูปที่ 3.6 เช่นเดียวกับที่กล่าวมา  
 เส้นทึบและเส้นประเป็นกรณีสำหรับระนาบสนามไฟฟ้า และสนามแม่เหล็ก ตามลำดับ สภาพ  
 เจาะจงทิศทางสูงสุดสำหรับกรณีระนาบสนามไฟฟ้าและระนาบสนามแม่เหล็กเกิดขึ้น ณ  $\theta = 0$   
 องศาและมีค่าใกล้เคียงกันมาก คือ  $18.6213 \text{ dB}$  และ  $18.8560 \text{ dB}$  ตามลำดับ ค่าที่ได้จะสอดคล้องกับ  
 ผลลัพธ์ที่แสดงไว้ในภาคผนวก (จ) เมื่อ  $\theta$  แปรเปลี่ยนจาก  $0^\circ$  ไปถึง  $90^\circ$  องศา ระดับพลังงานของพู  
 รอง (minor lobe) ในแบบแผนคลื่น  $TE_{11}$  ของระนาบสนามแม่เหล็กจะลดลงเร็วกว่าเมื่อเทียบกับ  
 กรณีระนาบดินที่สนามมีการกระจายคงตัว



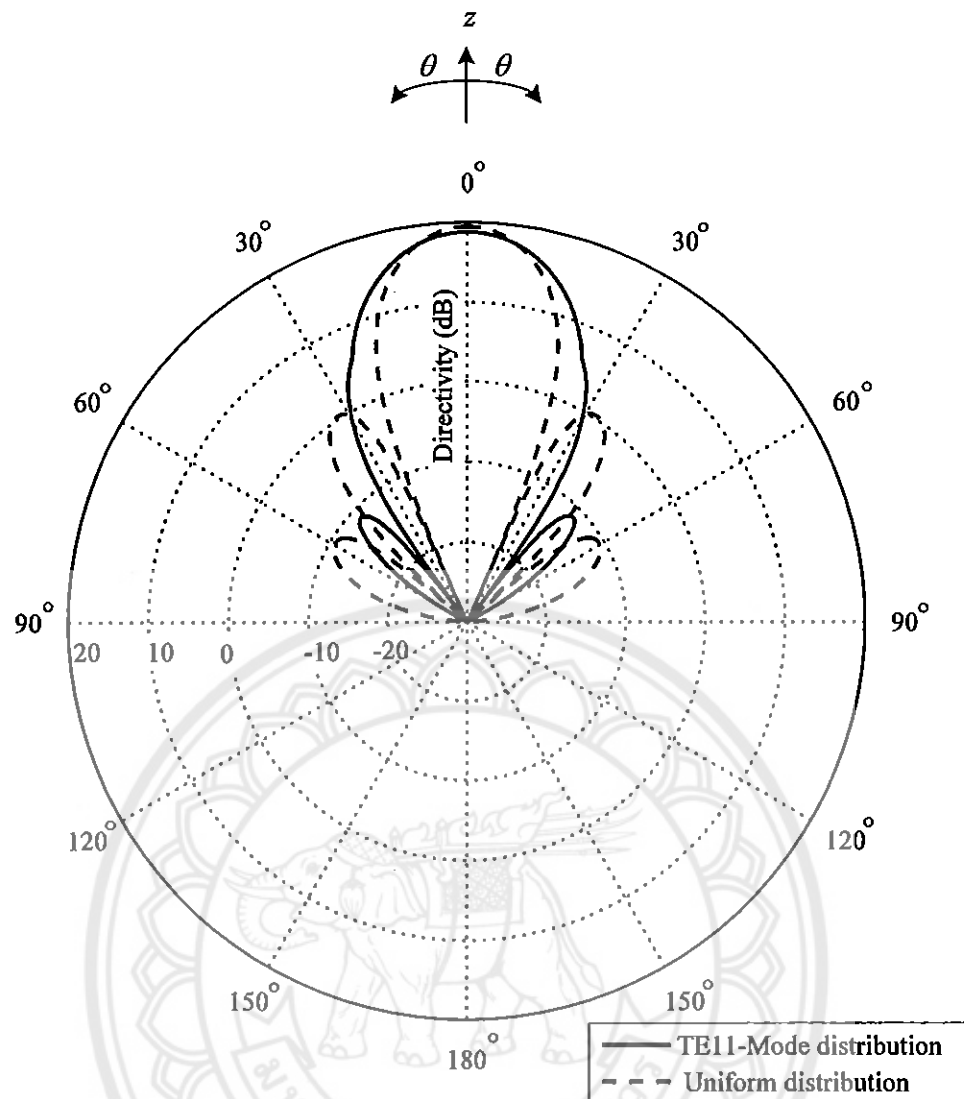
รูปที่ 3.6 แบบรูปสภาพเจาะจงทิศทางของช่องเปิด  $TE_{11}$  บนระนาบดินไม่จำกัดเมื่อ  $a = 1.5\lambda$

การเปรียบเทียบสภาพเจาะจงทิศทางของสายอากาศนั้นมีการกระจายแบบครุปและสายอากาศที่มีแบบแผนคลื่น  $TE_{11}$  แสดงไว้ในรูปที่ 3.7 สำหรับกรณีระนาบสนามไฟฟ้า และรูปที่ 3.8 สำหรับกรณีระนาบสนามแม่เหล็ก ซึ่งจะมีค่าที่ใกล้เคียงกันมาก



รูปที่ 3.7 แบบรูปสภาพเจาะจงทิศทางของช่องเปิด บนระนาบสนามไฟฟ้า  $a = 1.5\lambda$

จากรูปที่ 3.7 จะเห็นได้ว่าสภาพเจาะจงสูงสุดในกรณีระนาบสนามไฟฟ้าที่มีการกระจายแบบครุปมีค่าเป็น 19.4854 dB และสำหรับกรณีแบบแผนคลื่น  $TE_{11}$  สภาพเจาะจงสูงสุดมีค่าเป็น 18.6213 dB จะเห็นได้ว่าน้อยกว่าในกรณีที่มีการกระจายแบบรูปเดือนออย ผลที่ได้นี้ทั้งสองกรณีจะสอดคล้องกับค่าที่แสดงในภาคผนวก (๑)



รูปที่ 3.8 สภาพเจาะงหิศทางของสายอากาศช่องเปิด บนระนาบสนาณแม่เหล็ก เมื่อ  $a = 1.5\lambda$

รูปที่ 3.8 แสดงความสัมพันธ์ระหว่างสภาพเจาะงหิศทางของสายอากาศช่องเปิด บนระนาบสนาณแม่เหล็กในกรณีการกระจายตัวคงรูปและในแบบแผนคลื่น  $TE_{11}$  การกระจายตัวคงรูปมีพูจ้านวนห้าม และในกรณีแบบแผนคลื่น  $TE_{11}$  มีจำนวนพูจ้านวนสามพู เมื่อตรวจสอบระดับพูข้าง (SLL) พบรว่า ระดับพูข้างของ  $TE_{11}$  จะมีค่าเท่ากับ 30.2291 dB กรณีที่มีการกระจายตัวคงรูปที่มีค่าเท่ากับ 19.0722 dB ซึ่งกรณี  $TE_{11}$  มากกว่ากรณีที่มีการกระจายตัวคงรูป 11.1569 dB เมื่อพิจารณาความกว้างครึ่งกำลัง พบรว่า ความกว้างครึ่งกำลังของ  $TE_{11}$  จะมีค่าเท่ากับ 24.1168 องศา และสำหรับกรณีที่มีการกระจายตัวคงรูปจะมีค่าเท่ากับ 19.3584 องศา ซึ่งกรณี  $TE_{11}$  มากกว่ากรณีที่มีการกระจายตัวคงรูป 4.7584 องศา สภาพเจาะงหิศทางสูงสุดในกรณีที่มีการกระจายตัวคงรูปจะมีค่าเป็น 19.4854 dB แต่สำหรับกรณีแบบแผนคลื่น  $TE_{11}$  จะมีสภาพเจาะงหิศทางมีค่าต่ำกว่าเล็กน้อยคือ 18.8560 dB

### 3.3 ความกว้างลำดิ่นครึ่งกำลัง ระดับพูข้าง

พารามิเตอร์ที่สำคัญของสายอากาศคือ ความกว้างลำดิ่นครึ่งกำลัง (Half-Power Beamwidth HPBW) และระดับพูข้าง (Side Lobe Level, SLL) โดยที่ความกว้างลำดิ่นครึ่งกำลัง คือ มุมระหว่าง แนวสองแนวที่มีกำลัง (หรือ  $U$ ) เท่ากับครึ่งหนึ่งของค่าสูงสุด ระดับพูข้าง คือ อัตราส่วนของความเข้มการแผ่พลังงานในพูข้างที่มีค่ามากที่สุดต่อความเข้มการแผ่พลังงานในพูหลักมีค่ามากที่สุด ซึ่งจะมีค่า

$$SLL_{dB} = 10 \log \frac{|U(SLL)|}{|U(\max)|} \quad (3.1)$$

ตารางที่ 3.1 และ ตารางที่ 3.2 แสดงพารามิเตอร์บนระนาบสนามไฟฟ้าและสนามแม่เหล็ก ตามลำดับสำหรับกรณีของเปิดที่มีการกระจายแบบคงรูป จะเห็นได้ว่าในทั้งสองกรณีคือระนาบสนามไฟฟ้าและสนามแม่เหล็ก เมื่อเพิ่มขนาดของช่องเปิด ( $a$ ) จะส่งทำให้สภาพเจาะจงทิศทางเพิ่มขึ้น และ HPBW มีค่าลดลง สำหรับกรณีระนาบสนามแม่เหล็กที่ระดับพูข้างจะมีค่าลดลงเมื่อเพิ่มขนาดของช่องเปิด ซึ่งแตกต่างจากระนาบสนามไฟฟ้าที่คือขนาดของช่องเปิดจะไม่ส่งผลต่อ SLL กล่าวคือเมื่อเพิ่มขนาดของช่องเปิด SLL จะคงที่

ตารางที่ 3.3 และ ตารางที่ 3.4 แสดงพารามิเตอร์บนระนาบสนามไฟฟ้าและบนระนาบสนามแม่เหล็ก ตามลำดับสำหรับแบบแผนคลื่น  $TE_{11}$  เมื่อพิจารณาผลของช่องเปิดของทั้งสองกรณี คือบนระนาบสนามไฟฟ้าและบนระนาบสนามแม่เหล็กพบว่าความสัมพันธ์ระหว่างขนาดของช่องเปิด ต่อสภาพเจาะจงทิศทาง SLL และ HPBW จะเป็นเช่นเดียวกันกับกรณีการกระจายตัวแบบคงรูป แต่อย่างไรก็ตาม เมื่อพิจารณาขนาดช่องเปิดเดียวกันพบว่า สภาพเจาะจงทิศทางสำหรับกรณีแบบแผนคลื่น  $TE_{11}$  จะมีค่าน้อยกว่าในกรณีที่มีการกระจายแบบคงรูปอยู่เล็กน้อย และในกรณีระนาบสนามแม่เหล็กในแบบแผนคลื่น  $TE_{11}$  ค่า SLL และ HPBW จะมีค่าสูงกว่ากรณีการกระจายแบบคงรูป

ตารางที่ 3.1 สภาพเจาะจงทิศทาง SLL และ HPBW ของช่องเปิดที่แบบแผนการกระจายตัวคงรูป  
สำหรับกรณีระนาบส่วนไฟฟ้า

รัศมี $a$ ( $\lambda$ )	สภาพเจาะจง ทิศทาง MATLAB (dB)	ระดับพูน้ำ (SLL) (dB)	HPBW จาก MATLAB (degree)	HPBW จากสูตร [ภาคผนวก ๑] (degree)
1	15.9636	17.5702	29.8140	29.2000
1.5	19.4854	17.5702	19.7503	19.4667
2	21.9842	17.5728	14.7806	14.6000
2.5	23.9224	17.5722	11.8128	11.6800
3	25.5060	17.5717	9.8388	9.7333

ตารางที่ 3.2 สภาพเจาะจงทิศทาง SLL และ HPBW ของช่องเปิดที่แบบแผนการกระจายตัวคงรูป  
สำหรับกรณีระนาบส่วนแม่เหล็ก

รัศมี $a$ ( $\lambda$ )	สภาพเจาะจง ทิศทาง MATLAB (dB)	ระดับพูน้ำ (SLL) (dB)	HPBW จาก MATLAB (degree)	HPBW จากสูตร [ภาคผนวก ๑] (degree)
1	15.9636	21.8849	28.4891	29.2000
1.5	19.4854	19.0722	19.3581	19.4667
2	21.9842	18.3581	14.6152	14.6000
2.5	23.9224	18.0588	11.7283	11.6800
3	25.5060	17.9041	9.7899	9.7333

ตารางที่ 3.3 สภาพเจาะจงทิศทาง SLL และ HPBW ของช่องเปิดที่มีแบบแผนคลื่น  $TE_{11}$

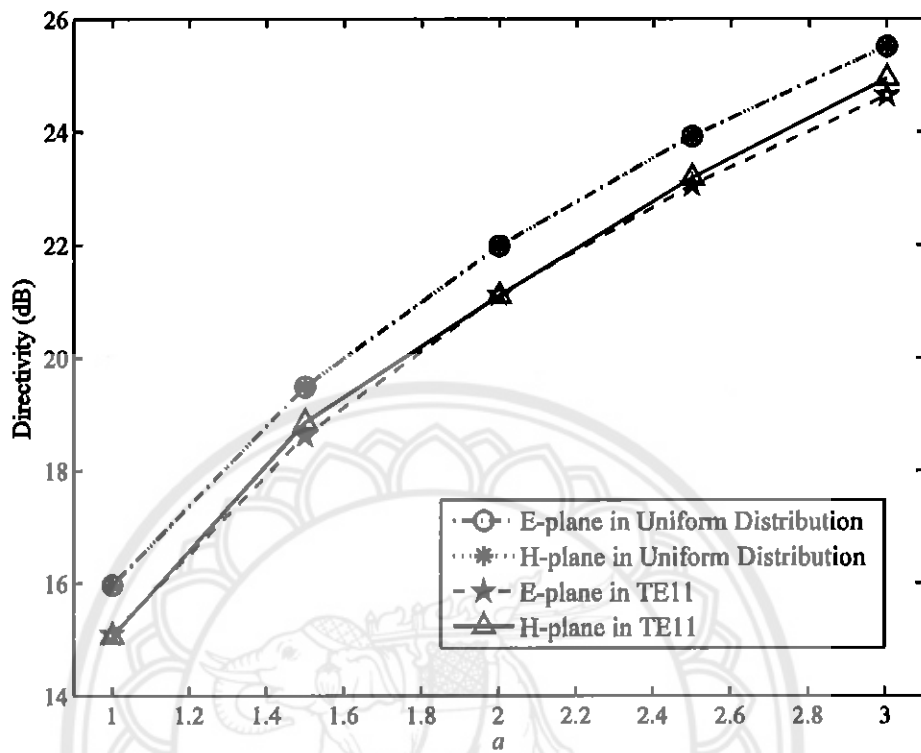
กรณีรีนานาสนาณไฟฟ้า

รัศมี $a$ ( $\lambda$ )	สภาพเจาะจง ทิศทาง MATLAB (dB)	ระดับพูข้าง (SLL) (dB)	HPBW จาก MATLAB (degree)	HPBW จากสูตร [ภาคผนวก ๑] (degree)
1	15.0946	17.5715	29.8141	29.2000
1.5	18.6213	17.5708	19.7500	19.4667
2	21.1224	17.5711	14.7802	14.6000
2.5	23.0584	17.5708	11.8123	11.6800
3	24.6427	17.5702	9.8383	9.7333

ตารางที่ 3.4 สภาพเจาะจงทิศทาง SLL และ HPBW ของช่องเปิดที่มีแบบแผนคลื่น  $TE_{11}$

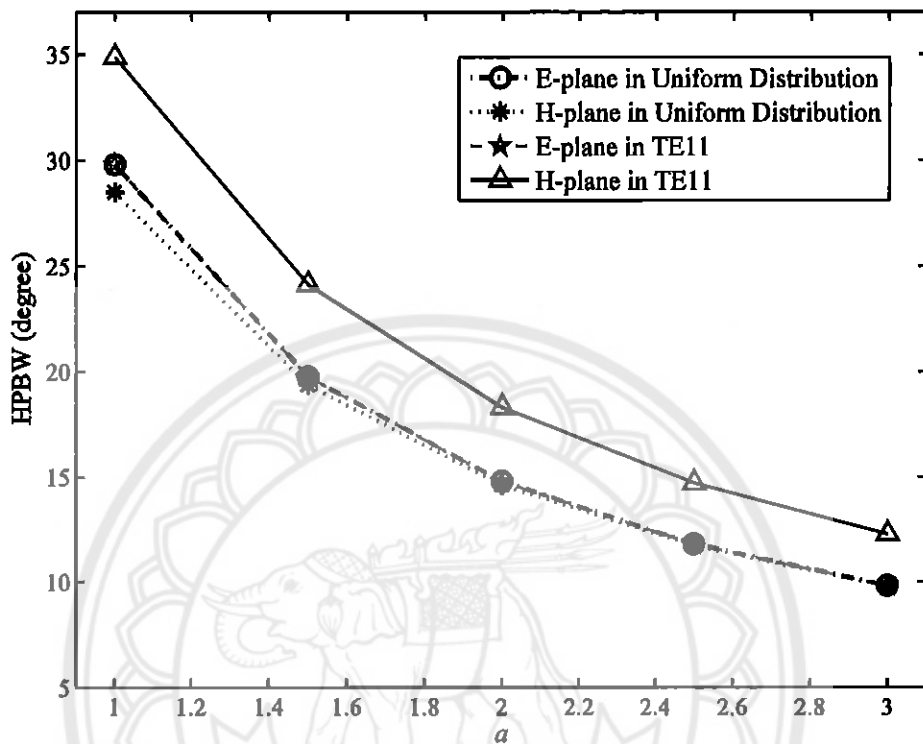
กรณีรีนานาสนาณแม่เหล็ก

รัศมี $a$ ( $\lambda$ )	สภาพเจาะจง ทิศทาง MATLAB (dB)	ระดับพูข้าง (SLL) (dB)	HPBW จาก MATLAB (degree)	HPBW จากสูตร [ภาคผนวก ๑] (degree)
1	15.0503	44.6227	34.8952	37.0000
1.5	18.8560	30.2291	24.1168	24.6667
2	21.1006	28.5323	18.2920	18.5000
2.5	23.1844	27.8831	14.7088	14.8000
3	24.9421	27.5639	12.2913	12.3333



รูปที่ 3.9 สภาพเจาะจงทิศทางของสายอากาศที่  $a = 1\lambda, 1.5\lambda, 2\lambda, 2.5\lambda$  และ  $3\lambda$

รูปที่ 3.9 จะเห็นได้ว่าสภาพเจาะจงทิศทางในกรณีที่มีการกระจายตัวคงรูปในระนาบผ่านมาไฟฟ้าและสนามแม่เหล็กจะมีค่าไม่เท่ากัน ในการนำองค์ความรู้นี้ไปใช้กับกรณีแบบแผนคลื่น TE<sub>11</sub> ที่สภาพเจาะจงทิศทางมีค่าไม่แตกต่างกัน แต่เมื่อเปรียบเทียบในระนาบที่สอดคล้องพบว่ากรณีแบบแผนคลื่น TE<sub>11</sub> จะมีค่าสภาพเจาะจงทิศทางน้อยกว่าในกรณีที่มีการกระจายตัวคงรูปเดือนน้อยทั้งสี่กรณีที่กล่าวมานี้จะเปรียบผันตรงกับ  $a$  ซึ่งจะมีค่ามากขึ้นในขณะที่สภาพเจาะจงทิศทางมีค่าเพิ่มมากขึ้นผลที่ได้นี้ทั้งสี่กรณีนี้จะสอดคล้องกับค่าที่แสดงในภาคผนวก (จ)



รูปที่ 3.10 ความกว้างลำคลื่นครึ่งกำลังของสายอากาศ ที่  $a = 1\lambda, 1.5\lambda, 2\lambda, 2.5\lambda$  และ  $3\lambda$

รูปที่ 3.10 จะเห็นได้ว่าค่า HPBW ในกรณีสายอากาศที่มีการกระจายตัวคงรูปในระนาบสนานไฟฟ้า สนานแม่เหล็ก และสายอากาศที่มีแบบแผนคลื่น  $TE_{11}$  บนสนานไฟฟ้าจะมีค่าที่ไม่ต่างกันมากนัก แต่สำหรับกรณีแบบแผนคลื่น  $TE_{11}$  บนสนานแม่เหล็ก จะเห็นได้ว่าค่า HPBW ค่อนข้างจะแตกต่าง กันกับสามกรณีแรก โดยจะมีค่ามากกว่าในขณะที่ขนาดของช่องเปิดมีค่าเท่ากัน โดยผลที่ได้นี้ทั้งสี่ กรณีนี้ preprocessing กันกับ  $a$  ซึ่งจะมีค่ามากขึ้นในขณะที่ค่า HPBW มีค่าลดลงสอดคล้องกับค่าที่แสดงในภาคผนวก (จ)

## บทที่ 4

### สรุปผลและข้อเสนอแนะ

#### 4.1 สรุปผลการวิเคราะห์

สายอาชญาซ่องเปิดที่มีภาคตัดขวางรูปวงกลมได้รับการวิเคราะห์โดยอาศัยหลักการสมมูลร่วมกับการประมาณในย่านสนานไมก โดยตัวอย่างที่นำมาพิจารณาได้แก่ สายอาชญาซ่องเปิดบนระนาบดินไม่จำกัด ที่สานามมีการกระจายคงรูปและที่สานามมีแบบแผนคลื่น  $TE_{11}$  ผลการวิเคราะห์แสดงให้เห็นว่า แนวของพูหลักรี้ในทิศตั้งฉากกับระนาบที่ซองเปิดซึ่งมุ่งยกมีค่าเท่ากับ 0 องศา ในทั้งสองกรณีเมื่อเพิ่มน้ำดของซ่องเปิด สภาพเฉพาะจังทิศทางจะมีค่าเพิ่มขึ้นและ HPBW จะมีค่าลดลง สภาพเฉพาะจังทิศทางของซ่องเปิดที่มีแบบแผนคลื่น  $TE_{11}$  จะมีค่าน้อยกว่ากรณีที่มีการกระจายตัวคงรูปเล็กน้อยในขนาดของซ่องเปิดเดียวกัน SLL ในระนาบสานามไฟฟ้าจะคงที่ซึ่งต่างจากระนาบสานามแม่เหล็กจะมีค่าลดลงในขณะที่ขนาดของซ่องเปิดเพิ่มขึ้น และสำหรับระนาบสานามแม่เหล็กที่มีแบบแผนคลื่น  $TE_{11}$  ค่า SLL และค่า HPBW ที่ได้นั้นจะมีค่ามากกว่ากรณีที่มีการกระจายตัวแบบคงรูปบนระนาบที่สอดคล้องกัน

#### 4.2 ข้อเสนอแนะ

การวิเคราะห์ซ่องเปิดที่เสนอมาใน อาศัยหลักการสมมูลและการประมาณในย่านสนานไมก ทำให้ได้สานามที่ครอบคลุมด้านหน้าของซ่องเปิด ซึ่งหลักการสมมูลยังมีข้อจำกัดที่ยังไม่สามารถใช้วิเคราะห์เพื่อหาสานามที่อยู่ด้านหลังของซ่องเปิด ได้ ซึ่งในบริเวณที่ว่าเนื้อหาทำได้โดยการวัดและทดสอบกับอุปกรณ์จริง หรืออาจใช้ทฤษฎีอื่น และเนื่องจากการวิเคราะห์สายอาชญาซ่องเปิดภาคตัดขวางรูปวงกลมที่ได้นำเสนอเป็นเพียงการวิเคราะห์ในทางคณิตศาสตร์ ซึ่งเป็นการจำลองทางทฤษฎีเท่านั้น ในการใช้งานจริงอาจมีปัจจัยภายนอกที่เกี่ยวข้อง เช่น ความสูญเสียของตัวกลางในท่อน้ำคลื่น หรือความสูญเสียของตัวกลางด้านหน้าของซ่องเปิดซึ่งเป็นบริเวณของการแผ่พลังงาน และปัจจัยอื่นๆ ที่อาจทำให้ผลการวิเคราะห์นี้คลาดเคลื่อนไป หากต้องการที่จะให้ได้ข้อมูลเกี่ยวกับแบบรูปคลื่นได้ใกล้เคียงความจริงมากที่สุด ก็สามารถทำได้โดยการวัดและทดสอบกับอุปกรณ์จริง

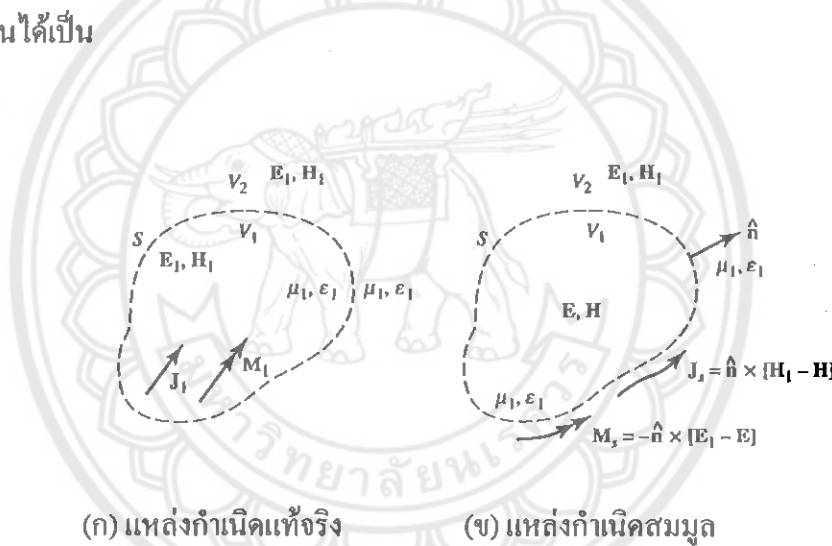
## เอกสารอ้างอิง

- [1] Constantine A. Balanis. **Advanced Engineering Electromagnetics**, United States of America : John Wiley & Sons. 1938.
- [2] Constantine A. Balanis. **Antenna Theory Analysis and Design**. 3<sup>rd</sup> Ed. United States of America : John Wiley & Sons. 2005.
- [3] นัตรชัย ไวยาพัฒนกร. การวิเคราะห์สายอากาศ. พิมพ์ครั้งที่ 1. กรุงเทพมหานคร : สำนักพิมพ์แห่งจุฬาลงกรณ์มหาวิทยาลัย. 2547.
- [4] ภูริวันน์ เกตุศรีศักดา. การวิเคราะห์สายอากาศช่องเปิด. ปริญญาบัณฑิต วิศวกรรมศาสตร์ บัณฑิต สาขาวิชาชีวกรรมไฟฟ้า ภาควิชาชีวกรรมไฟฟ้าและคอมพิวเตอร์ มหาวิทยาลัยนเรศวร. 2552.
- [5] ศรีขวัญ โพธาระวิญ การวิเคราะห์ท่อนำคลื่นภาคตัดขวางเป็นรูปป่วงกลม. ปริญญาบัณฑิต วิศวกรรมศาสตร์ บัณฑิต สาขาวิชาชีวกรรมไฟฟ้า ภาควิชาชีวกรรมไฟฟ้าและคอมพิวเตอร์ มหาวิทยาลัยนเรศวร. 2550.
- [6] พรชัย พูกฤษต. การวิเคราะห์กอสูมสายอากาศเส้นตรงระยะห่างคงรูปและแอมพลิจูดไม่คงรูป. ปริญญาบัณฑิต วิศวกรรมศาสตร์ บัณฑิต สาขาวิชาชีวกรรมไฟฟ้า ภาควิชาชีวกรรมไฟฟ้า และคอมพิวเตอร์ มหาวิทยาลัยนเรศวร. 2550.
- [7] ลัญจกร วุฒิสิทธิ์กุลกิจ และคณะ. การใช้งานโปรแกรม MATLAB เบื้องต้น. พิมพ์ครั้งที่ 2. กรุงเทพมหานคร: สำนักพิมพ์แห่งจุฬาลงกรณ์มหาวิทยาลัย. 2551



## หลักการสنانามสมมูล

หลักการสنانามได้รับการพัฒนาขึ้นโดยการพิจารณาแหล่งกำเนิดแท้จริง (actual source) ซึ่งในที่นี้คือความหนาแน่นกระแสไฟฟ้า  $J_1$  และความหนาแน่นกระแสแม่เหล็ก  $M_1$  ดังแสดงในรูปที่ ก.1 แหล่งกำเนิดเหล่านี้จะเพลิงงาน  $E_1$  และ  $H_1$  ไปทั่วทุกบริเวณที่อยู่โดยรอบ เพื่อที่ได้วิธีที่จะให้สنانามภายใต้พื้นผิวปิด จะเลือกพื้นผิวปิด  $S$  แสดงได้ดังเด่นประในรูปที่ ก.1(ข) โดยที่พื้นผิวนี้ต้องครอบคลุมแหล่งกำเนิด  $J_1$  และ  $M_1$  ปริมาตรที่อยู่ภายใต้  $S$  คือ  $V_1$  และที่อยู่ภายใต้  $S$  คือ  $V_2$  ปัญหาสมมูลของรูปที่ ก.1(ก) แสดงได้ดังรูปที่ ก.1(ข) แหล่งกำเนิดเดิมจะได้รับการข้ายอกไป และภายใต้พื้นผิว  $S$  จะได้รับการสูบติดให้มีสنانามไฟฟ้า  $E$  และสنانามแม่เหล็ก เกิดขึ้น  $H$  ส่วนภายใต้พื้นผิว  $S$  สนานามไฟฟ้าและสنانามแม่เหล็กมีค่าเท่าเดิม คือ  $E_1$  และ  $H_1$  ตามลำดับ เพื่อที่จะให้สنانามเป็นไปตามที่กำหนดมาแล้ว พื้นผิว  $S$  สนานามต้องสอดคล้องกับเงื่อนไขขอบเขตเนื่องจากสنانามไฟฟ้าและสnanamแม่เหล็กมีความไม่ต่อเนื่องบนพื้นผิวนี้ จึงทำให้เงื่อนไขขอบเขตสามารถเขียนได้เป็น



รูปที่ ก.1 รูปแบบแหล่งกำเนิดแท้จริงและแหล่งกำเนิดสมมูล [2]

$$\mathbf{J}_s = \hat{n} \times [\mathbf{H}_1 - \mathbf{H}] \quad (\text{ก.1})$$

$$\mathbf{M}_s = -\hat{n} \times [\mathbf{E}_1 - \mathbf{E}] \quad (\text{ก.2})$$

เมื่อ  $\hat{n}$  คือ เวกเตอร์หนึ่งหน่วยที่ตั้งฉากกับพื้นผิว  $S$  และมีทิศพุ่งออก แหล่งกำเนิด  $J_s$  และ  $M_s$  ทั้งสองนี้จะผลิตสنانามในบริเวณ  $V_2$  โดยที่สنانามที่ได้จะมีค่าเท่ากันกับที่เกิดจากแหล่งกำเนิดแท้จริง จึงกล่าวได้ว่าแหล่งกำเนิด (ก.1), (ก.2) สมมูลกับแหล่งแท้จริงเฉพาะในบริเวณ  $V_2$

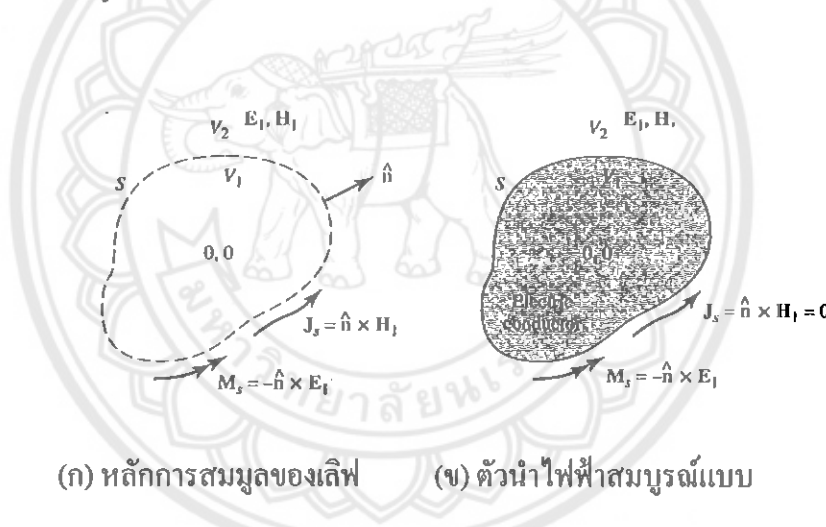
เนื่องจากสนาม  $E$  และ  $H$  ที่อยู่ภายใน  $S$  สามารถคำนวณได้ และเป็นบริเวณที่ไม่สนใจ จึงสามารถสมมติให้มีค่าเป็นศูนย์ได้ ดังนั้นความหนาแน่นกระแส  $J_s$  และ  $M_s$  จะครุปไปได้เป็น

$$\mathbf{J}_s = \hat{n} \times (\mathbf{H}_I - \mathbf{H}) \Big|_{\mathbf{H}=0} = \hat{n} \times \mathbf{H}_I \quad (ก.3)$$

$$\mathbf{M}_s = -\hat{n} \times (\mathbf{E}_I - \mathbf{E}) \Big|_{\mathbf{E}=0} = -\hat{n} \times \mathbf{E}_I \quad (ก.4)$$

หลักการที่ให้สนามภายในพื้นผิวปิดเป็นศูนย์นี้จะเรียกว่า หลักการสมมูลของเลิฟ (Love's Equivalence Principle)

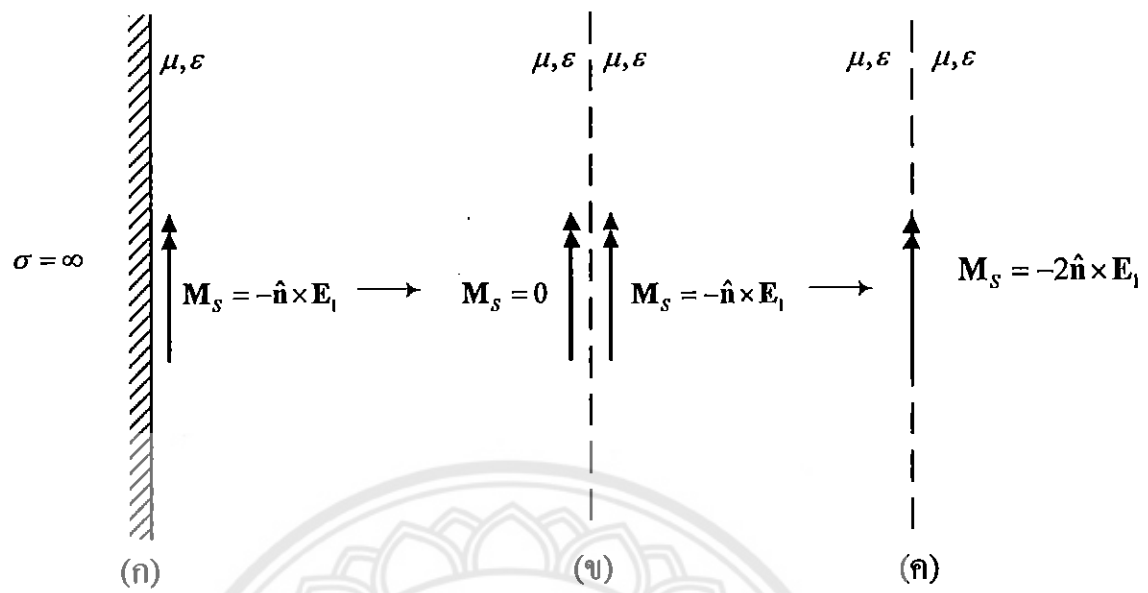
สำหรับกรณีที่โครงสร้างส่วนใหญ่ของปัญหาเป็นตัวนำไฟฟ้าสมบูรณ์แบบ (Perfect Electric Conductor, PEC) บริเวณที่อยู่ภายในพื้นผิวปิดจะได้รับการแทนด้วยตัวนำไฟฟ้าสมบูรณ์แบบ ดังแสดงในรูปที่ ก.1.ก ตัวนำไฟฟ้าสมบูรณ์แบบจะถูกจัดความหนาแน่นกระแสไฟฟ้า  $J_s$  ขังผลให้  $\mathbf{J}_s = 0$  ดังแสดงในรูปที่ ก.1.ช



(ก) หลักการสมมูลของเลิฟ      (ช) ตัวนำไฟฟ้าสมบูรณ์แบบ

รูปที่ ก.2 แบบจำลองหลักการสมมูลสำหรับตัวนำไฟฟ้าสมบูรณ์แบบ [2]

สำหรับปัญหาสาขาอากาศช่องเปิดที่วางแผนระนาบเดินไม่จำกัด ดังแสดงในรูปที่ 2.5 พื้นผิวปิดจะเป็นผิวนานเรียบที่กรอบดูมตัวนำไฟฟ้าสมบูรณ์แบบ ดังแสดงในรูปที่ ก.1(ช) แหล่งกำเนิดที่ปรากฏอยู่จะมีเพียงแหล่งกำเนิดกระแสแม่เหล็ก  $M_s$  เท่านั้น สนามที่อยู่ในปริภูมิว่างค้านขวางของพื้นผิวสามารถหาได้โดยใช้ ทฤษฎีภาพ (image theory) กล่าวคือ ตัวนำไฟฟ้าสมบูรณ์แบบจะได้รับการข้ายอกไป แหล่งกำเนิดแม่เหล็กจินตภาพ (imaginary magnetic) ตัวหนึ่งจะได้รับการนำมาร่วมไว้ ค้านขวางของพื้นผิวปิด ดังแสดงในรูปที่ ก.3 เนื่องจากแหล่งกำเนิดที่นำเข้ามาใหม่นี้มีทิศเดียวกันกับแหล่งกำเนิดแท้จริงที่มีอยู่เดิม จะน้ำหนามาร่วมกัน ความหนาแน่นกระแสแม่เหล็กจะเป็นทวีคูณ และแหล่งกำเนิดที่ได้นี้จะนำมาใช้เพื่อวิเคราะห์สนามที่แผ่ออกไปในข้างสนาม ไกล



รูปที่ ก.3 รูปแบบหลักการสมมูลสำหรับการเผยแพร่ผลงานในลักษณะนำเสนอไฟฟ้าสมบูรณ์แบบ



ภาคผนวก ๖

ศักย์เชิงเวกเตอร์สำหรับสายอาชีวะ ช่องเปิดที่มีภาคตัดขวางรูปวงกลม

ในการหาสนามไฟฟ้าและสนามแม่เหล็กที่แผ่ออกไปนั้นจะไม่นิยมวิเคราะห์โดยตรงจากแหล่งกำเนิด แต่จะหาโดยอาศัยศักย์เชิงเวกเตอร์คือ  $\mathbf{A}$  และ  $\mathbf{F}$  เมื่อทราบ  $\mathbf{A}$  และ  $\mathbf{F}$  แล้ว จะหาสนามอีกต่อหนึ่ง ศักย์เชิงเวกเตอร์  $\mathbf{A}$  และ  $\mathbf{F}$  จะสัมพันธ์กับกระแสไฟฟ้าและกระแสแม่เหล็กตามลำดับ ดังนี้

$$\mathbf{A} = \frac{\mu}{4\pi} \iint_S \mathbf{J}_s \frac{e^{-j\beta R}}{R} ds' \quad (\text{ก.1ก})$$

$$\mathbf{F} = \frac{\epsilon}{4\pi} \iint_S \mathbf{M}_s \frac{e^{-j\beta R}}{R} ds' \quad (\text{ก.1ข})$$

โดยที่  $\mathbf{J}_s$  และ  $\mathbf{M}_s$  คือ ความหนาแน่นกระแสไฟฟ้าและกระแสแม่เหล็ก ตามลำดับ สำหรับกรณีที่จุดสังเกต อยู่ในย่านสนามใกล้ ซึ่งบริเวณนี้เป็นบริเวณที่นิยมสำหรับการวิเคราะห์ปัญหาสายอากาศ และเป็นบริเวณที่ได้รับการสนใจ ค่าของ  $R$  จะได้รับการประมาณตามสมการดังนี้

$$R = r - \hat{\mathbf{a}}_r \cdot \mathbf{r}' \quad \text{for phase terms} \quad (\text{ก.2ก})$$

$$R = r \quad \text{for amplitude terms} \quad (\text{ก.2ข})$$

โดยอาศัยการประมาณในย่านสนามใกล้ ศักย์เชิงเวกเตอร์  $\mathbf{A}$  และ  $\mathbf{F}$  สามารถเขียนได้เป็น

$$\mathbf{A} = \frac{\mu}{4\pi} \iint_S \mathbf{J}_s \frac{e^{-j\beta R}}{R} ds' \cong \frac{\mu e^{-j\beta r}}{4\pi r} \mathbf{N} \quad (\text{ก.3ก})$$

$$\mathbf{F} = \frac{\epsilon}{4\pi} \iint_S \mathbf{M}_s \frac{e^{-j\beta R}}{R} ds' \cong \frac{\epsilon e^{-j\beta r}}{4\pi r} \mathbf{L} \quad (\text{ก.3ข})$$

โดยที่  $\mathbf{N}$  และ  $\mathbf{L}$  คือ โมเมนต์กระแสจะมีค่าเป็น

$$\mathbf{N} = \iint_S \mathbf{J}_s e^{-j\beta \hat{\mathbf{a}}_r \cdot \mathbf{r}'} ds' \quad (\text{ก.4ก})$$

$$\mathbf{L} = \iint_S \mathbf{M}_s e^{-j\beta \hat{\mathbf{a}}_r \cdot \mathbf{r}'} ds' \quad (\text{ก.4ข})$$

ถ้าพิจารณาพารามิเตอร์ที่เกี่ยวกับกระแสไฟฟ้าในที่นี่คือ  $\mathbf{N}$  และ  $\mathbf{J}$  และในพิกัดจาก  $\mathbf{N}$  และ  $\mathbf{J}$  สามารถเขียนได้ในรูป

$$\begin{aligned}\mathbf{N}(x, y, z) &= \mathbf{N}_x \hat{\mathbf{a}}_x + \mathbf{N}_y \hat{\mathbf{a}}_y + \mathbf{N}_z \hat{\mathbf{a}}_z \\ \mathbf{J}_s(x', y', z') &= \hat{\mathbf{a}}_x J_x(x', y', z') + \hat{\mathbf{a}}_y J_y(x', y', z') + \hat{\mathbf{a}}_z J_z(x', y', z')\end{aligned}\quad (\text{ก.5})$$

แทนค่าสมการ (ก.5) ลงใน (ก.4ก) จะได้

$$\mathbf{N}(x, y, z) = \iint_S [\hat{\mathbf{a}}_x J_x(x', y', z') + \hat{\mathbf{a}}_y J_y(x', y', z') + \hat{\mathbf{a}}_z J_z(x', y', z')] e^{-j\beta \hat{\mathbf{a}}_r \cdot \mathbf{r}'} ds' \quad (\text{ก.6})$$

กระแสในสมการ (ก.6) แสดงสมการในรูปพิกัดลาก ซึ่งกระแสที่อยู่บนภาคตัดขวางของช่องเปิดอยู่ในรูปพิกัดทรงกระบอก เพื่อให้วิเคราะห์ได้ง่ายจึงจำเป็นต้องแปลงจากพิกัดทรงกระบอกไปเป็นพิกัดลากโดยอาศัยสมการเมทริกซ์ดังต่อไปนี้

$$\begin{bmatrix} J_x \\ J_y \\ J_z \end{bmatrix} = \begin{bmatrix} \cos \phi' & -\sin \phi' & 0 \\ \sin \phi' & \cos \phi' & 0 \\ 0 & 0 & 1 \end{bmatrix} \begin{bmatrix} J_\rho \\ J_\phi \\ J_z \end{bmatrix} \quad (\text{ก.7ก})$$

กระจายได้

$$J_x = J_\rho \cos \phi' - J_\phi \sin \phi' \quad (\text{ก.8ก})$$

$$J_y = J_\rho \sin \phi' + J_\phi \cos \phi' \quad (\text{ก.8กย})$$

$$J_z = J_z \quad (\text{ก.8กค})$$

แทนสมการ (ก.7ก) ลงในสมการ (ก.6) จะได้

$$\mathbf{N}(x, y, z) = \iint_S [\hat{\mathbf{a}}_x (J_\rho \cos \phi' - J_\phi \sin \phi') + \hat{\mathbf{a}}_y (J_\rho \sin \phi' + J_\phi \cos \phi') + \hat{\mathbf{a}}_z J_z] e^{-j\beta \hat{\mathbf{a}}_r \cdot \mathbf{r}'} ds' \quad (\text{ก.9})$$

จากสมการ (ก.9) จะได้ความสัมพันธ์ของสมการระหว่างพิกัดลากกับพิกัดทรงกระบอกดังนี้

$$N_x = \iint_S (J_\rho \cos \phi' - J_\phi \sin \phi') e^{j\beta \hat{\mathbf{a}}_r \cdot \mathbf{r}'} ds' \quad (\text{ก.10ก})$$

$$N_y = \iint_S (J_\rho \sin \phi' + J_\phi \cos \phi') e^{j\beta \hat{\mathbf{a}}_r \cdot \mathbf{r}'} ds' \quad (\text{ก.10กย})$$

$$N_z = \iint_S J_z e^{j\beta \hat{\mathbf{a}}_r \cdot \mathbf{r}'} ds' \quad (\text{ก.10กค})$$

เนื่องจากหน้าคลื่นที่แผ่ออกไปในย่านสนามไฟล จะจดเป็นทรงกลม จึงต้องเปลี่ยนรูปให้อยู่ในพิกัดทรงกลมด้วย ซึ่งจะมีขั้นตอนดังต่อไปนี้

ความสัมพันธ์ระหว่างพิกัดทรงกลมกับพิกัด笛卡 จะเขียนได้ดังสมการ

$$\begin{bmatrix} N_r \\ N_\theta \\ N_\phi \end{bmatrix} = \begin{bmatrix} \sin\theta\cos\phi & \sin\theta\sin\phi & \cos\theta \\ \cos\theta\sin\phi & \cos\theta\sin\phi & -\sin\theta \\ -\sin\phi & \cos\phi & 0 \end{bmatrix} \begin{bmatrix} N_x \\ N_y \\ N_z \end{bmatrix} \quad (\text{ก.11ก})$$

กระจายได้

$$N_r = N_x \sin\theta\cos\phi + N_y \sin\theta\sin\phi + N_z \cos\theta \quad (\text{ก.12ก})$$

$$N_\theta = N_x \cos\theta\cos\phi + N_y \cos\theta\sin\phi - N_z \sin\theta \quad (\text{ก.12ข})$$

$$N_\phi = -N_x \sin\phi + N_y \cos\phi \quad (\text{ก.12ค})$$

นำสมการ (ก.10ก) -(ก.10ค) แทนลงใน (ก.12ก) - (ก.12ค) ตามลำดับซึ่งจะทำให้ได้ค่าของ  $N_r, N_\theta$  และ  $N_\phi$  ในพิกัดทรงกลม ดังนี้

$$\begin{aligned} N_r &= \sin\theta\cos\phi \iint_S (J_\rho \cos\phi' - J_\phi \sin\phi') e^{j\beta\hat{a}_r \cdot \mathbf{r}'} ds' \\ &\quad + \sin\theta\sin\phi \iint_S (J_\rho \sin\phi' - J_\phi \cos\phi') e^{j\beta\hat{a}_r \cdot \mathbf{r}'} ds' \\ &\quad + \cos\theta \iint_S J_z e^{j\beta\hat{a}_r \cdot \mathbf{r}'} ds' \\ &= \iint_S [(J_\rho \sin\theta\cos\phi\cos\phi' - J_\phi \sin\theta\cos\phi\sin\phi') \\ &\quad + (J_\rho \sin\theta\sin\phi\sin\phi' - J_\phi \sin\theta\sin\phi\cos\phi') \\ &\quad + J_z \cos\theta] e^{j\beta\hat{a}_r \cdot \mathbf{r}'} ds' \\ &= \iint_S [J_\rho \sin\theta(\cos\phi\cos\phi' + \sin\phi'\sin\phi) \\ &\quad + J_\phi \sin\theta(\sin\phi'\cos\phi - \cos\phi'\sin\phi) \\ &\quad + J_z \cos\theta] e^{j\beta\hat{a}_r \cdot \mathbf{r}'} ds' \end{aligned}$$

$$N_r = \iint_S [J_\rho \sin\theta\cos(\phi - \phi') + J_\phi \sin\theta\sin(\phi - \phi') + J_z \cos\theta] e^{j\beta\hat{a}_r \cdot \mathbf{r}'} ds' \quad (\text{ก.13})$$

$$\begin{aligned}
N_\theta &= \cos\theta \cos\phi \iint_S (J_\rho \cos\phi' - J_\phi \sin\phi') e^{j\beta \hat{\mathbf{a}}_r \cdot \mathbf{r}'} ds' \\
&\quad + \cos\theta \sin\phi \iint_S (J_\rho \sin\phi' + J_\phi \cos\phi') e^{j\beta \hat{\mathbf{a}}_r \cdot \mathbf{r}'} ds' \\
&\quad + \sin\theta \iint_S J_z e^{j\beta \hat{\mathbf{a}}_r \cdot \mathbf{r}'} ds' \\
&= \iint_S [J_\rho \cos\phi' \cos\theta \cos\phi - J_\phi \sin\phi' \cos\theta \cos\phi \\
&\quad + J_\rho \sin\phi' \cos\theta \sin\phi + J_\phi \cos\phi' \cos\theta \sin\phi \\
&\quad + J_z \sin\theta] e^{j\beta \hat{\mathbf{a}}_r \cdot \mathbf{r}'} ds' \\
&= \iint_S [J_\rho \cos\theta (\cos\phi \cos\phi' + \sin\phi \sin\phi') \\
&\quad + J_\phi \cos\theta (-\cos\phi \sin\phi' + \sin\phi \cos\phi') \\
&\quad + J_z \sin\theta] e^{j\beta \hat{\mathbf{a}}_r \cdot \mathbf{r}'} ds' \\
N_\theta &= \iint_S [J_\rho \cos\theta \cos(\phi - \phi') + J_\phi \cos\theta \sin(\phi - \phi') + J_z \sin\theta] e^{j\beta \hat{\mathbf{a}}_r \cdot \mathbf{r}'} ds' \quad (4.14)
\end{aligned}$$

$$\begin{aligned}
N_\phi &= \sin\phi \iint_S (-J_\rho \cos\phi' - J_\phi \sin\phi') e^{-j\beta \hat{\mathbf{a}}_r \cdot \mathbf{r}'} ds' \\
&\quad + \cos\phi \iint_S (J_\rho \sin\phi' + J_\phi \cos\phi') e^{j\beta \hat{\mathbf{a}}_r \cdot \mathbf{r}'} ds' \\
&= - \iint_S [J_\rho \cos\phi' \sin\phi - J_\phi \sin\phi' \sin\phi \\
&\quad + J_\rho \sin\phi' \cos\phi + J_\phi \cos\phi' \cos\phi] e^{j\beta \hat{\mathbf{a}}_r \cdot \mathbf{r}'} ds' \\
&= - \iint_S [J_\rho (\cos\phi' \sin\phi - \sin\phi' \cos\phi) \\
&\quad + J_\phi (\sin\phi' \sin\phi + \cos\phi' \cos\phi)] e^{j\beta \hat{\mathbf{a}}_r \cdot \mathbf{r}'} ds' \\
N_\phi &= \iint_S [-J_\rho \sin(\phi - \phi') + J_\phi \cos(\phi - \phi')] e^{j\beta \hat{\mathbf{a}}_r \cdot \mathbf{r}'} ds' \quad (4.15)
\end{aligned}$$

นำสมการ ( Allison.13), (Allison.14) และ (Allison.15) แทนในสมการ ( Allison.3g) จะได้ศักย์เชิงเวกเตอร์ A มีค่าเป็น

$$A_r = \frac{\mu e^{-j\beta r}}{4\pi} \iint_S [J_\rho \sin \theta \cos(\phi - \phi') + J_\phi \sin \theta \sin(\phi - \phi') + J_z \cos \theta] e^{j\beta \hat{a}_r \cdot \mathbf{r}'} d\mathbf{s}' \quad (\text{Allison.16g})$$

$$A_\theta = \frac{\mu e^{-j\beta r}}{4\pi} \iint_S [J_\rho \cos \theta \cos(\phi - \phi') + J_\phi \cos \theta \sin(\phi - \phi') + J_z \sin \theta] e^{j\beta \hat{a}_\theta \cdot \mathbf{r}'} d\mathbf{s}' \quad (\text{Allison.16h})$$

$$A_\phi = \frac{\mu e^{-j\beta r}}{4\pi} \iint_S [-J_\rho \sin(\phi - \phi') + J_\phi \cos(\phi - \phi')] e^{j\beta \hat{a}_\phi \cdot \mathbf{r}'} d\mathbf{s}' \quad (\text{Allison.16k})$$

และในทำนองเดียวกัน ศักย์เชิงเวกเตอร์ F สามารถหาค่าได้ตามขั้นตอนเดียวกันกับ ศักย์เชิงเวกเตอร์ A ดังที่ได้กล่าวมาแล้ว ศักย์เชิงเวกเตอร์ F จะมีค่าเป็น

$$F_r = \frac{\epsilon e^{-j\beta r}}{4\pi} \iint_S [M_\rho \sin \theta \cos(\phi - \phi') + M_\phi \sin \theta \sin(\phi - \phi') + M_z \cos \theta] e^{j\beta \hat{a}_r \cdot \mathbf{r}'} d\mathbf{s}' \quad (\text{Allison.17g})$$

$$F_\theta = \frac{\epsilon e^{-j\beta r}}{4\pi} \iint_S [M_\rho \cos \theta \cos(\phi - \phi') + M_\phi \cos \theta \sin(\phi - \phi') + M_z \sin \theta] e^{j\beta \hat{a}_\theta \cdot \mathbf{r}'} d\mathbf{s}' \quad (\text{Allison.17h})$$

$$F_\phi = \frac{\epsilon e^{-j\beta r}}{4\pi} \iint_S [-M_\rho \sin(\phi - \phi') + M_\phi \cos(\phi - \phi')] e^{j\beta \hat{a}_\phi \cdot \mathbf{r}'} d\mathbf{s}' \quad (\text{Allison.17k})$$



สมการเชิงอนุพันธ์แบบเบสเซลอันดับ  $p$  (Bessel's differential equation of order  $p$ ) ก็คือ สมการ  
ซึ่งอยู่ในรูป

$$x^2 y'' + xy' + (x^2 - p^2)y = 0 \quad (\text{ก.1})$$

โดยที่  $p$  เป็นพารามิเตอร์ที่เป็นจำนวนจริงและ  $p \geq 0$

โดยวิธีของ Fourier สามารถตัดให้ผลเกลียดอยู่ในรูป

$$y = \sum_{k=0}^{\infty} a_k x^{k+r} , \quad a_0 \neq 0 \quad (\text{ก.2})$$

แล้วแทนค่า (ก.2) ลงใน (ก.1) จะได้

$$(r^2 - p^2)a_0 x^r + [(r+1)^2 - p^2]a_1 x^{r+1} + \sum_{k=2}^{\infty} [(k+r)^2 - p^2]a_k x^{k+r} = 0 \quad (\text{ก.3})$$

ซึ่งจะเป็นจริงเมื่อสัมประสิทธิ์ของ  $x$  กำลังต่างๆ เป็นศูนย์ ดังนั้นจะได้สมการค้างนี้

$$r^2 - p^2 = 0 \quad (\text{ก.4a})$$

และ

$$[(r+1)^2 - p^2]a_1 = 0 \quad (\text{ก.4b})$$

และเมื่อ  $k \geq 2$  จะได้

$$[(k+r)^2 - p^2]a_k = -a_{k-2} \quad (\text{ก.5a})$$

หรือ

$$a_k = -\frac{a_{k-2}}{(k+r)^2 - p^2} = -\frac{a_{k-2}}{[k+r-p][k+r+p]} \quad (\text{ก.5b})$$

จาก (ก.4a) จะได้รากของสมการคือ  $r_1 = p$  และ  $r_2 = -p$

แทนค่า  $r = r_1 = p$  ใน (ก.4b) จะได้ว่า  $a_1 = 0$  และจาก (ก.5b) จะได้

$$a_k = -\frac{a_{k-2}}{k(k+2p)} , \quad k \geq 2 \quad (\text{ก.6})$$

เนื่องจาก  $a_1 = 0$  ดังนั้นจาก (ค.5b) จะได้ว่า  $a_3 = a_5 = \dots = 0$  และสำหรับ  $k$  ที่เป็นเลขคู่ ให้  $k = 2m$  จะได้

$$a_{2m} = -\frac{a_{2m-2}}{2^2 m(m+p)} , \quad m = 1, 2, 3, \dots \quad (\text{ค.7})$$

เนื่องจาก  $a_0$  เป็นค่าคงตัวไม่เจาะจง ในที่นี่เราจะใช้  $a_0 = \frac{1}{2^p \Gamma(p+1)}$  ดังนั้น

$$\begin{aligned} a_2 &= -\frac{a_0}{2^2(p+1)} = -\frac{1}{2^{2+p}1!(p+1)\Gamma(p+1)} = -\frac{1}{2^{2+p}1!\Gamma(p+2)} \\ a_4 &= -\frac{a_2}{2^2 \cdot 2(p+2)} = \frac{1}{2^{4+p} \cdot 2 \cdot 1!(p+2)\Gamma(p+2)} = \frac{1}{2^{4+p}2!\Gamma(p+3)} \\ a_6 &= -\frac{a_4}{2^2 \cdot 3(p+3)} = -\frac{1}{2^{6+p} \cdot 3 \cdot 2!(p+3)\Gamma(p+3)} = -\frac{1}{2^{6+p}3!\Gamma(p+4)} \dots \end{aligned}$$

โดยทั่วไปจะได้

$$a_{2m} = \frac{(-1)^m}{2^{2m+p} m! \Gamma(p+m+1)} , \quad m = 0, 1, 2, 3, \dots \quad (\text{ค.8})$$

เมื่อแทนค่าสัมประสิทธิ์เหล่านี้ลงในผลเฉลยที่สมนติไว้จะได้ผลเฉลยเฉพาะของสมการเบสเซล ซึ่งจะเขียนแทนด้วย  $J_p(x)$  นั่นคือ

$$J_p(x) = \sum_{m=0}^{\infty} a_{2m} x^{2m+p} = \sum_{m=0}^{\infty} \frac{(-1)^m}{m! \Gamma(p+m+1)} \left(\frac{x}{2}\right)^{2m+p} \quad (\text{ค.9})$$

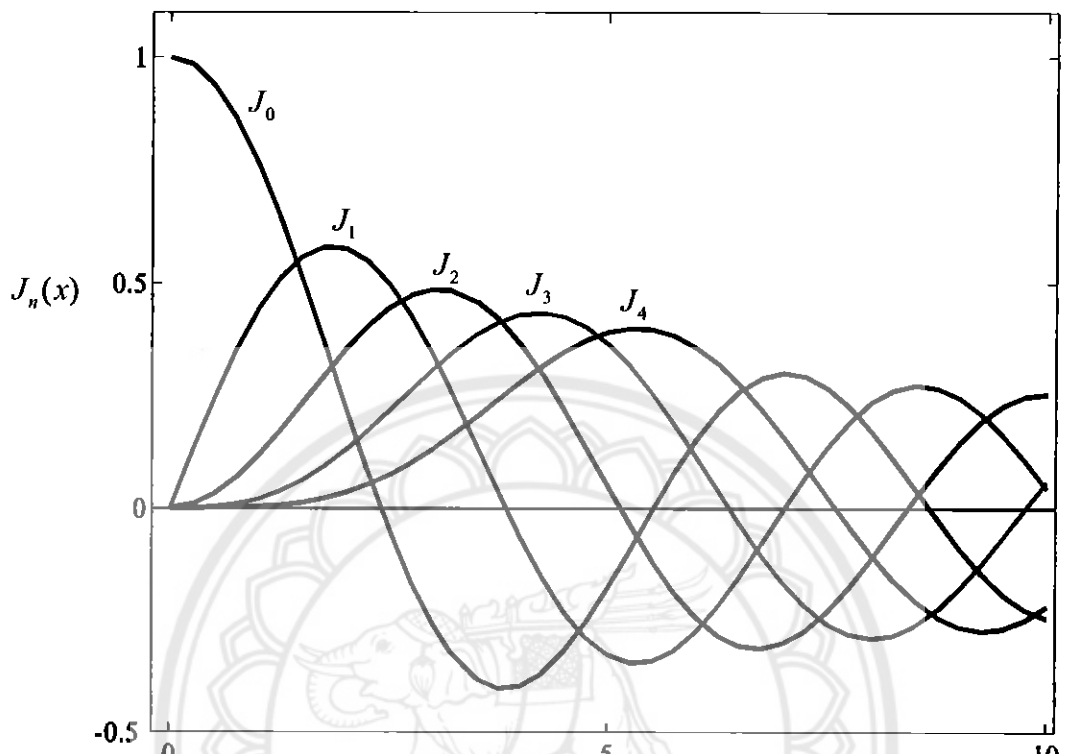
และเรียก  $J_p(x)$  ว่า พังก์ชันเบสเซลชนิดที่หนึ่งอันดับ  $p$  (Bessel function of the first kind of order  $p$ ) สังเกตว่า  $J_0(0) = 1$  และ  $J_p(0) = 0$  สำหรับ  $p > 0$

พังก์ชันเบสเซลที่พบมากในทางประยุกต์ คือ  $J_0(x)$  และ  $J_1(x)$  ซึ่งเป็นอ ก น า ย า ง ช ด ใจ น ได้ เป็น

$$J_0(x) = 1 - \frac{x^2}{2^2(1!)^2} + \frac{x^4}{2^4(2!)^2} - \frac{x^6}{2^6(3!)^2} + \dots \quad (\text{ค.10ก})$$

$$J_1(x) = \frac{x}{2} - \frac{x^3}{2^3 1! 2!} + \frac{x^5}{2^5 2! 3!} - \frac{x^7}{2^7 3! 4!} + \dots \quad (\text{ค.10ก})$$

และแสดงได้ดังรูปที่ 1 ก.



รูปที่ ก.1 พิงก์ชันเบสเซลชนิดที่หนึ่งอันดับ  $p$  (Bessel function of the first kind of order  $p$ )

ต่อไปพิจารณาหาผลเฉลยที่สองของสมการเบสเซล

$$\text{เนื่องจาก } r_1 - r_2 = p - (-p) = 2p$$

กรณีที่ 1 ถ้า  $2p$  ไม่เป็นจำนวนเต็ม จะได้ว่า  $p$  ไม่เป็นจำนวนเต็มด้วย

ใช้  $r_2 = -p$  หากผลเฉลยในทำนองเดียวกับการใช้  $r_1 = p$  จะได้ผลเฉลยที่สองของสมการเป็น

$$J_{-p}(x) = \sum_{m=0}^{\infty} \frac{(-1)^m}{m! \Gamma(-p+m+1)} \left(\frac{x}{2}\right)^{2m-p} \quad (\text{ก.11})$$

เนื่องจาก  $J_{-p}(x)$  มีพจน์  $x^{-p}$  ในขณะที่  $J_p(x)$  ไม่มี เพราะฉะนั้นจะได้ว่า  $J_p(x)$  และ  $J_{-p}(x)$  เป็นอิสระเชิงเส้นต่อกัน แต่เพื่อจุดประสงค์ที่หลากหลาย จะสะดวกกว่าที่จะใช้

$$Y_p(x) = \frac{(\cos p\pi)J_p(x) - J_{-p}(x)}{\sin(p\pi)} \quad (\text{ค.12})$$

แทน  $J_{-p}(x)$  เป็นผลเฉลยที่สองของสมการเบสเซลและเรียก  $Y_p(x)$  ว่า พังก์ชันเบสเซลชนิดที่สองอันดับ  $p$  (Bessel function of the second kind of order  $p$ )

กรณีที่ 2 ถ้า  $2p$  เป็นจำนวนเต็มคือ จะได้ว่า  $p$  ไม่เป็นจำนวนเต็ม ให้  $2p = N$

แทนค่า  $r_2 = -p$  ลงในสมการ (ค.5b) จะได้

$$k(k-N)a_k = -a_{k-2} \quad , \quad k \geq 2 \quad (\text{ค.13})$$

เมื่อแทนค่า  $k = 2,3,4,\dots$  ลงในสมการ (ค.13) เป็นลำดับไปจนกระทั่งถึง  $k = N$  จะได้

$$a_3 = a_5 = \dots = a_{N-2} = 0 \quad \text{และ} \quad 0 \cdot a_N = a_{N-2} = 0 \quad (\text{ค.14})$$

เนื่องจาก  $a_N$  เป็นค่าคงตัวไม่เจาะจง ดังนั้นเลือก  $a_N = 0$  ผลที่ตามมาคือ เหลือสัมประสิทธิ์  $a_k$  เมื่อ  $k = 2,4,6,\dots$  และเราจะได้ผลเฉลยที่สองจากค่า  $r_2 = -p$  เช่นเดียวกับกรณีที่ 1

กรณีที่ 3 ถ้า  $2p$  เป็นจำนวนเต็มคู่ จะได้ว่า  $p$  เป็นจำนวนเต็ม ให้  $p = n$  จะได้

$$J_{-n}(x) = \sum_{m=0}^{\infty} \frac{(-1)^m}{m! \Gamma(-n+m+1)} \left( \frac{x}{2} \right)^{2m-1} \quad (\text{ค.15})$$

แต่  $\frac{1}{\Gamma(x)} = 0$  ทุกค่า  $x = 0, -1, -2, \dots$  ดังนั้น

$$\frac{1}{\Gamma(-n+m+1)} = 0 \quad \text{เมื่อ} \quad m = 0, 1, 2, 3, \dots, (n-1) \quad (\text{ค.16})$$

ผลที่ได้คือ

$$J_{-n}(x) = \sum_{m=n}^{\infty} \frac{(-1)^m}{m! \Gamma(-n+m+1)} \left( \frac{x}{2} \right)^{2m-n} \quad (\text{ค.17})$$

ให้  $k = m - n$  จะได้

$$\begin{aligned} J_{-n}(x) &= \sum_{k=0}^{\infty} \frac{1}{(k+n)! \Gamma(k+1)} \left(\frac{x}{2}\right)^{2k+n} \\ &= (-1)^n \sum_{k=0}^{\infty} \frac{(-1)^k}{k! \Gamma(n+k+1)} \left(\frac{x}{2}\right)^{2k+n} \\ &= (-1)^n J_n(x) \end{aligned} \quad (\text{ค.18})$$

ซึ่งแสดงว่า  $J_n(x)$  และ  $J_{-n}(x)$  ไม่เป็นอิสระเชิงเส้นต่อกัน

ดังนี้เมื่อ  $p = n = 0, 1, 2, \dots$  เราจะได้ผลเฉลยของสมการเบสเซลเพียงผลเฉลยเดียวเท่านั้นคือ  $J_n(x)$  แต่ความสามารถหาผลเฉลยที่สองได้ในรูป  $J_n(x) \int \frac{1}{x J_n^2(x)} dx$  หรืออาจจะหาได้อีกอย่าง ในรูปของคณิตของ  $Y_p(x)$  เมื่อ  $p \rightarrow n$  ซึ่งสามารถแสดงได้ว่าค่าคงที่นี้มีค่าและจะเป็นแทนคัวบ  $Y_n(x)$  นั่นคือ

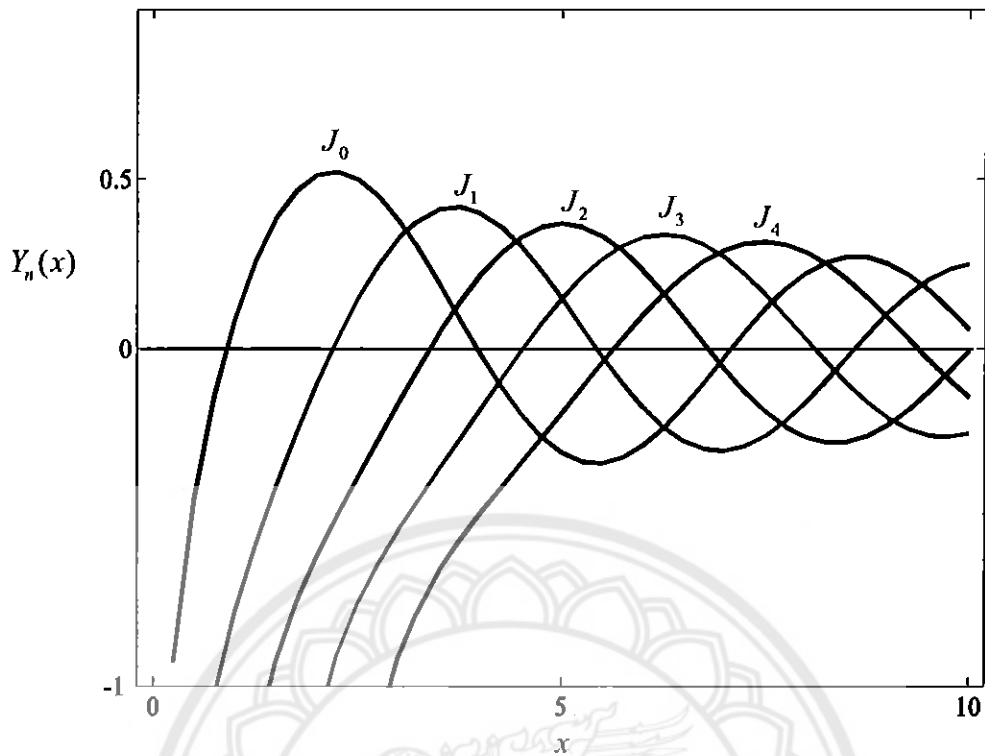
$$Y_n(x) = \lim_{p \rightarrow n} Y_p(x) = \lim_{p \rightarrow n} \frac{(\cos p\pi) J_p(x) - J_{-p}(x)}{\sin p\pi} \quad (\text{ค.19})$$

ดังนั้นผลเฉลยสุดท้ายของสมการเบสเซลอันดับ  $p$  จะอยู่ในรูป

$$y(x) = c_1 J_p(x) + c_2 Y_p(x) \quad (\text{ค.20ก})$$

และถ้า  $p$  ไม่เป็นจำนวนเต็ม จะเป็นผลเฉลยสุดท้ายของสมการเบสเซลอันดับ  $p$  ได้อีกอย่าง คือ

$$y(x) = c_1 J_p(x) + c_2 J_{-p}(x) \quad (\text{ค.20ข})$$



รูปที่ ค.2 ฟังก์ชันเบสเซลชนิดที่สองอันดับ  $p$  (Bessel function of the second kind of order  $p$ )

เอกลักษณ์ของฟังก์ชันเบสเซล ( Bessel function identities )

จะพิจารณาคุณสมบัติที่สำคัญ ดังนี้

$$J_p(x) = \sum_{m=0}^{\infty} \frac{(-1)^m}{m! \Gamma(p+m+1)} \left(\frac{x}{2}\right)^{2m+p} \quad (\text{ค.21})$$

ถ้า  $p$  เป็นจำนวนเต็มที่ไม่เป็นลบ จะได้

$$\begin{aligned} \frac{d}{dx}[x^p J_p(x)] &= \frac{d}{dx} \sum_{m=0}^{\infty} \frac{(-1)^m x^{2m+2p}}{2^{2m+p} \cdot m! (p+m)!} \\ \frac{d}{dx}[x^p J_p(x)] &= \sum_{m=0}^{\infty} \frac{(-1)^m x^{2m+2p-1}}{2^{2m+p-1} m! (p+m-1)!} \\ &= x^p \sum_{m=0}^{\infty} \frac{(-1)^m x^{2m+p-1}}{2^{2m+p-1} m! (p+m-1)!} \\ &= x^p \sum_{m=0}^{\infty} \frac{(-1)^m}{m! \Gamma(p+m)} \left(\frac{x}{2}\right)^{2m+p-1} \end{aligned}$$

นั่นคือ

$$\frac{d}{dx}[x^p J_p(x)] = x^p J_{p-1}(x) \quad (\text{ค.22})$$

ในทำนองเดียวกันจะพิสูจน์ได้ว่า

$$\frac{d}{dx}[x^{-p} J_p(x)] = -x^{-p} J_{p+1}(x) \quad (\text{ค.23})$$

จาก (ค.22) จะได้

$$\begin{aligned} px^{p-1} J_p(x) + x^p J'_p(x) &= x^p J_{p-1}(x) \\ J'_p(x) &= J_{p-1}(x) - \frac{p}{x} J_p(x) \end{aligned} \quad (\text{ค.24})$$

จาก (ค.23) จะได้

$$J'_p(x) = \frac{p}{x} J_p(x) - J_{p+1}(x) \quad (\text{ค.25})$$

นำ (ค.24) - (ค.25) จะได้

$$J_{p-1}(x) + J_{p+1}(x) = \frac{2p}{x} J_p(x) \quad (\text{ค.26})$$

นำ (ค.24) + (ค.25) จะได้

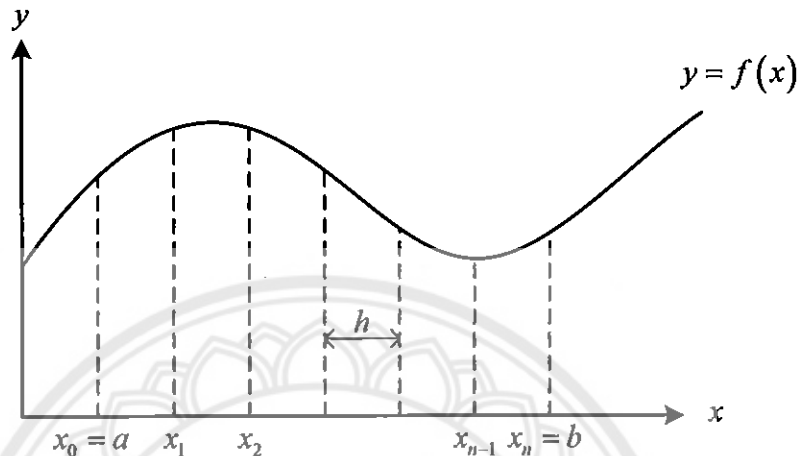
$$J_{p-1}(x) - J_{p+1}(x) = 2J'_p(x) \quad (\text{ค.27})$$

สมการ (ค.26) มีประโยชน์ในการหาฟังก์ชันเบสเซลที่มีอันดับสูงขึ้น โดยเขียนในพจน์ของฟังก์ชันเบสเซลที่มีอันดับน้อยกว่า



ภาคผนวก ง  
การอินทิเกรตเชิงตัวเลขโดยใช้กฏสี่เหลี่ยมคงที่

การหาค่าอินทิเกรต  $f(x)$  ในช่วง  $a \leq x \leq b$  หาได้โดยการแบ่งพื้นที่การอินทิเกรตทั้งหมดออกเป็น  $n$  ช่วงเริ่มต้นแต่ ช่วง  $x_0 \leq x \leq x_1, x_1 \leq x \leq x_2, \dots, x_{n-1} \leq x \leq x_n$  ดังที่แสดงในรูปที่ ๑.๑ สามารถเขียนได้ดังสมการ (๑.๑)



รูปที่ ๑.๑ การแบ่งช่วงของการอินทิเกรตแบบสี่เหลี่ยมคางหมู

$$\int_a^b f(x) dx = \int_{x_0}^{x_1} f(x) dx + \int_{x_1}^{x_2} f(x) dx + \dots + \int_{x_{n-1}}^{x_n} f(x) dx \quad (1.1)$$

จากนั้นประมาณด้วยพื้นที่สี่เหลี่ยมคางหมูและหาค่าผลรวมของพื้นที่สี่เหลี่ยมย่อยในช่วง  $a$  ถึง  $b$  ได้ดังสมการ (๑.๒)

$$\begin{aligned} \int_a^b f(x) dx &= \int_{x_0}^{x_1} f(x) dx + \int_{x_1}^{x_2} f(x) dx + \dots + \int_{x_{n-1}}^{x_n} f(x) dx \\ &= \frac{h}{2} [(f(x_0) + f(x_1)) + (f(x_1) + f(x_2)) + \dots + (f(x_{n-1}) + f(x_n))] \end{aligned} \quad (1.2)$$

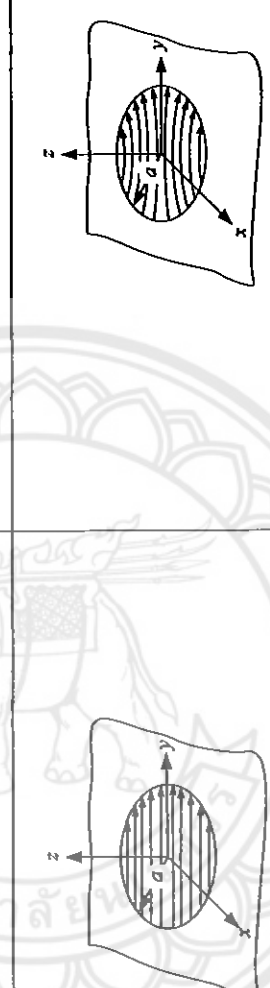
$$h = \frac{b-a}{n} \quad (1.3)$$

เมื่อ  $n$  เป็นจำนวนเต็ม ใช้แทนจำนวนช่วงที่แบ่ง



พารามิเตอร์ของสถาปัตยกรรมเป็นความนวนานาคืนไม่สำคัญ สำหรับการกระชากแบบวงรูปและที่มีแบบรูป  $\text{TE}_{11}$  และด้วยในตารางที่ 1.1 และ 1.2 เมื่อ ตารางที่ 1.1 การกระชากของสถาปัตยกรรมเป็นปีก กระแสแต่งต้าน้ำหนัก และสถานะในช่างตันตามไปถัด และตารางที่ 1.2 แสดงพารามิเตอร์ของสถาปัตยกรรม

ตารางที่ จ.1 การกระชากของสถาปัตยกรรมเป็นปีก กระแสแต่งต้าน้ำหนัก และสถานะในช่างตันตามไปถัด

	Uniform Distribution Aperture On Ground Plane	$\text{TE}_{11}$ -Mode Distribution Aperture On Ground Plane
Aperture distribution of tangential component (analytical)	$E_a = \hat{\mathbf{a}}_y E_0$ $\rho' \leq a$	$\left. \begin{aligned} E_a &= \hat{\mathbf{a}}_\rho E_\rho + \hat{\mathbf{a}}_\phi E_\phi \\ E_\rho &= E_0 J_1(X'_{11}\rho'/a) \sin\phi'/\rho' \\ E_\phi &= E_0 J_1(X'_{11}\rho'/a) \cos\phi'/\rho' \end{aligned} \right\} \begin{array}{l} \rho' \leq a \\ X'_{11} = 1.841 \\ \frac{\partial}{\partial \rho'} \end{array}$
Aperture distribution of tangential components (graphical)		
Equivalent	$M_s = \begin{cases} -2\hat{\mathbf{n}} \times \mathbf{E}_a & \rho' \leq a \\ 0 & \text{elsewhere} \end{cases}$	$\left. \begin{aligned} M_s &= \begin{cases} -2\hat{\mathbf{n}} \times \mathbf{E}_a & \rho' \leq a \\ 0 & \text{elsewhere} \end{cases} \\ \mathbf{J}_s &= 0 \end{aligned} \right\} \begin{array}{l} \text{everywhere} \\ \text{everywhere} \end{array}$

ตารางที่ จ.1(ต่อ) การกระจายของสนามห้องปฏิบัติ กระแสและมุม และสนามในที่ราชนามหาโลก

	Uniform Distribution Aperture On Ground Plane	TE <sub>11</sub> -Mode Distribution Aperture On Ground Plane
	$E_r = H_r = 0$ $E_\theta = jC_1 \sin \phi \frac{J_1(Z)}{Z}$ $E_\phi = jC_1 \cos \theta \cos \phi \frac{J_1(Z)}{Z}$ $H_\theta = -E_\phi / \eta$ $H_\phi = E_\theta / \eta$ $C_1 = j \frac{k\alpha^2 E_0 e^{-jkr}}{r}$	$E_r = H_r = 0$ $E_\theta = C_2 \sin \phi \frac{J_1(Z)}{Z}$ $E_\phi = C_2 \cos \theta \cos \phi \frac{J'_1(Z)}{1 - (Z/X'_{11})^2}$ $H_\theta = -E_\phi / \eta$ $H_\phi = E_\theta / \eta$ $J'_1(Z) = J_0(Z) - J_1(Z)/Z$ $C_2 = j \frac{k\alpha E_0 J_1(X'_{11}) e^{-jkr}}{r}$

ตารางที่ จ.2 พารามิเตอร์ของเสียงจากห้องเปิดสำหรับรัศมีวงบานวนดินไนจ์ก้าด แซททีมเมบเบิร์ก TE<sub>11</sub>

Half-power beamwidth (degrees)	E-plane $a >> \lambda$	$\frac{29.2}{a/\lambda}$	$\frac{29.2}{a/\lambda}$
	H-plane $a >> \lambda$	$\frac{29.2}{a/\lambda}$	$\frac{37.0}{a/\lambda}$
First null beamwidth (degrees)	E-plane $a >> \lambda$	$\frac{69.9}{a/\lambda}$	$\frac{69.9}{a/\lambda}$
	H-plane $a >> \lambda$	$\frac{69.9}{a/\lambda}$	$\frac{98.0}{a/\lambda}$
First side lobe Max. (to main Max.) (dB)	E-plane	-17.6	-17.6
	H-plane	-17.6	-26.2
Directivity $D_{\max}$ (dimensionless)	$\frac{4\pi}{\lambda^2}(\text{area}) = \frac{4\pi}{\lambda^2}(\pi a^2) = \left(\frac{2\pi a}{\lambda}\right)^2$	$0.836\left(\frac{2\pi a}{\lambda}\right)^2$	$= 10.5\pi\left(\frac{a}{\lambda}\right)^2$



โปรแกรมวิเคราะห์สายอากาศช่องเปิดที่มีภาคตัดขวางรูปวงกลม

## โปรแกรมหาค่า สภาพเจาะจงทิศทาง

โปรแกรม MATLAB ได้รับการพัฒนาขึ้นเพื่อหาค่าสภาพเจาะจงทิศทางทั้งบนระนาบสนาณ์ไฟฟ้า กับสนาณ์แม่เหล็กแม่เหล็ก สำหรับกรณีช่องเปิดวงบันชนะนานดิน ไม่จำกัดอาศัยจะสมการ (2.24ก) - (2.24ก) และกรณีที่มีแบบแผนคลื่น TE<sub>11</sub> จะใช้สมการ (2.38ก) - (2.38ก) ซึ่งเป็นโปรแกรมได้ ดังนี้

```

clear all
clc
a=2;
k=2*pi;
int=120*pi;
num=361;
step=0.5*pi/(num-1);
temp1=(k*a);
temp3=4*pi*pi*a*a;
%*****E-Plane in Ground*****
%
phi=pi/2;
for ii=1:num
    theta=0+(ii-1)*step;
    temp4=abs(temp1*sin(theta));
    if temp4==0
        temp5=1;
    else
        temp5=abs(2*besselj(1,temp4))/(temp4); %sinx/x
    end
    temp8=sin(phi)*temp5;
    temp9=(temp8*temp8);
    temp10=(temp3*temp9);
    temp11(ii,1)=temp10;
    %% loop %%
    temp19(ii,1)=theta;

```

```

end

temp15=10*log10(temp11);

for ii=1:num

if temp15(ii,1)>=-30

temp16(ii,1)=temp15(ii,1);

else

temp16(ii,1)=-30;

end

end

%*****H-Plane in Ground*****%
```

%

```

phi2=0;

for ii=1:num

theta=0+(ii-1)*step;

temp20=temp1*sin(theta);

if temp20==0

temp21=1;

else

temp21=(2*besselj(1,temp20)/temp20);

end

temp24=cos(theta)*cos(phi2)*temp21;

temp25=(temp24*temp24);

temp26=(temp3*temp25);

temp27(ii,1)=temp26;

end

temp31=10*log10(temp27);

for ii=1:num

if temp31(ii,1)>=-30

temp32(ii,1)=temp31(ii,1);

else

temp32(ii,1)=-30;

end

```

```

end

%%%%%%%%%%%%%%%
clear all
clc
a=3;
k=2*pi;
int=120*pi;
num=a*a*102;
step=(0.5*pi)/(num-1);
temp1=(k*a);
temp3=4*pi*pi*a*a;
lift=0;
right=pi;
step_prad=(right-lift)/num;
sum=0;
sum1=0;
phi=pi/2;
temp11=temp1*(besselj(1,1.841));%c2
*****
%           E-Plane TE-11
*****
%find prad_e
for aa=1:num
    for ii=1:num
        theta=0+(ii-1)*step;
        temp_4=temp1*sin(theta);
        if temp_4==0
            temp_5=1;
        else
            temp_5=abs(2*(besselj(1,temp_4))/(temp_4));
        end
        temp_10=temp_5/2;
    end
end

```

```

temp_12=((temp11*temp_10)^2)/(2*int);

f_prad_elift=temp_12*(sin(lift+(ii-1)))*step_prad;
f_prad_eright=temp_12*(sin(lift+(ii)))*step_prad;
sum=sum+((f_prad_elift+f_prad_eright)*0.5*step_prad);

end

prad_e=2*pi*sum;

end

phi=pi/2;

for ii=1:num

theta=0+(ii-1)*step;

temp4=temp1*sin(theta);

if temp4==0

temp5=1;

else

temp5=abs((2*besselj(1,temp4))/(temp4));

end

temp10=(sin(phi)*((temp5)/2));

temp12=(4*pi*((temp11*temp10)^2)/(2*int))/prad_e;
temp13(ii,1)=(temp12);

temp19(ii,1)=theta;

end

temp50=10*log10(temp13);

for ii=1:num

if temp50(ii,1)>=-30

temp51(ii,1)=temp50(ii,1);

else

temp51(ii,1)=-30;

end

end

*****
% H-Plane TE11
*****
phi2=0;

```

```

%find prad_h

for aa=1:num

    for bb=1:num

        theta=0+(bb-1)*step;

        temp_20=temp1*sin(theta);

        if temp_20==0

            temp_21=1;

        else

            temp_21=abs(2*besselj(1,temp_20)/temp_20); %sinx/x

        end

        temp_22=abs(2*besselj(0,temp_20));

        temp_23=(temp_22/2)-(temp_21/2);

        temp_24=(1-(temp_20/1.841)^2);

        temp_25=cos(theta)*(temp_23/temp_24);

        temp_27=((temp11*temp_25)^2)/(2*int);

        f_prad_hlift=temp_27*(sin(lift+(bb-1)))*step_prad;

        f_prad_hright=temp_27*(sin(lift+(bb)))*step_prad;

        sum1=sum1+((f_prad_hlift+f_prad_hright)*0.5*step_prad);

    end

    prad_h=sum1*2*pi;

end

for cc=1:num

    theta=0+(cc-1)*step;

    temp20=temp1*sin(theta);

    if temp20==0

        temp21=1;

    else

        temp21=abs(2*besselj(1,temp20)/temp20); %sinx/x

    end

    temp22=abs(2*besselj(0,temp20));

    temp23=(temp22/2)-(temp21/2);

    temp24=(1-(temp20/1.841)^2);

    temp25=cos(theta)*cos(phi2)*(temp23/temp24);

```

```

temp27=((4*pi*(temp11*temp25)^2)/(2*int))/prad_h;
temp28(cc,1)=(temp27);
temp19(cc,1)=theta;
end

temp61=10*log10(temp28);

for dd=1:num
    if temp61(dd,1)>=-30
        temp62(dd,1)=temp61(dd,1);
    else
        temp62(dd,1)=-30;
    end
end

```

## โปรแกรมหาค่า ระดับพูข้าง (SLL)

ระดับพูข้างสำหรับสาขากาศซ่องเปิดเมื่ออาศัยวิธีเชิงตัวเลข เปียน โปรแกรมได้ดังนี้

```

%*****Side Loop Level*****
%
for jj=2:num
    atheta=(jj-1)*step;
    if temp_x(jj,1)>=temp_x(jj-1,1)& temp_x(jj,1)>=temp_x(jj+1,1)
        temp65(jj,1)=temp_x(jj,1);
        temp66=atheta;
    else
        temp_x(jj,1)>temp_x(jj-1,1);
    end
end
temp67=max(temp_x)/max(temp65);
SLL=10*log10(temp67);
theta_degree=temp66*180/pi;

```

## โปรแกรมหาค่าความกว้างลำดักลื่นครึ่งกำลัง (HPBW)

ระดับพู๊ดข้างสำหรับสาขางานซึ่งเปิดเมื่ออาศัยวิธีเชิงตัวเลข ร่วมกับการประมาณแบบเชิงเส้น (linear interpolation) เขียนโปรแกรมได้ดังนี้

```
%*****
%          Half Power Beamwidth
%*****  

temp68 =max(temp_x)/2;  

for ii=2:(num+1)  

    theta=(ii-1)*step;  

    theta_now(ii,1)=theta;  

    temp69=temp_x(ii-1,1)>temp68;  

    temp70=temp_x(ii,1)<temp68;  

    if temp69&temp70  

        break  

    end  

end  

del_theta=theta_now(ii,1)-theta_now(ii-1,1);  

del_dir=temp_x(ii,1)-temp_x(ii-1,1);  

temp71=temp68-temp_x(ii-1,1);  

temp72=theta_now(ii-1,1)+del_theta*temp71/del_dir;  

hpbw_degree=2*temp72*180/pi;
```